

# 縮退スカラーを持つ複素シングレット スカラー拡張モデルにおける電弱相転移

お茶の水女子大学 D1 出川智香子

共同研究者：曹基哲（お茶大）、瀬名波栄問（Van Lang Univ.）

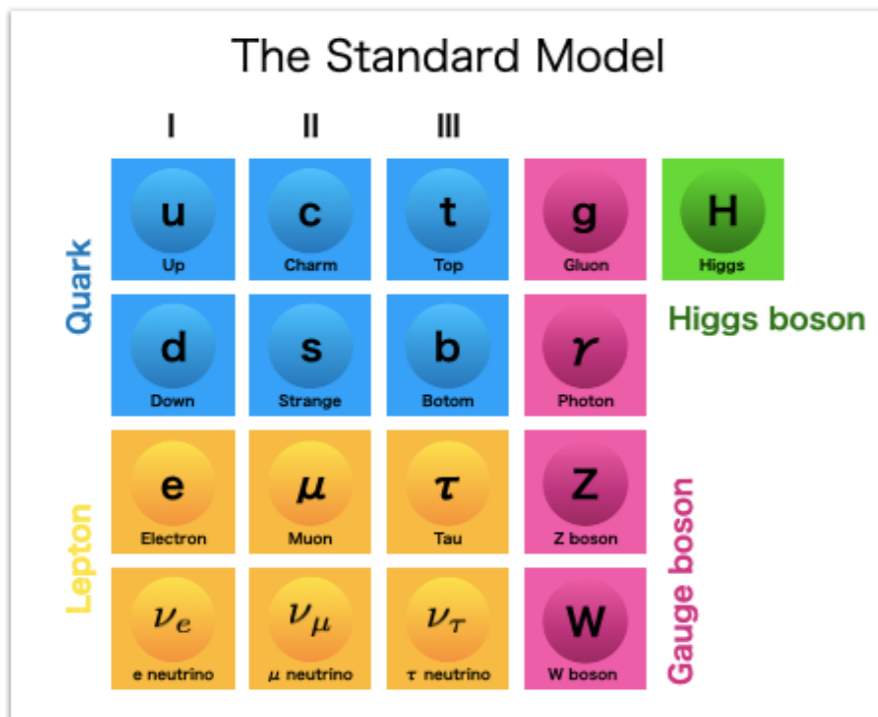
**arXiv: 2105.11830**

# 導入:バリオン非対称性

バリオン非対称性: 現在の宇宙を構成するのは粒子からなる物質  
反粒子からなる反物質は観測されていない

## サハロフの3条件

1. バリオン数の破れ
2. C対称性、CP対称性の破れ
3. 熱平衡からの離脱



SMのパラメーターはサハロフの  
3条件を満たさない

⇒ **SMを拡張する必要がある**

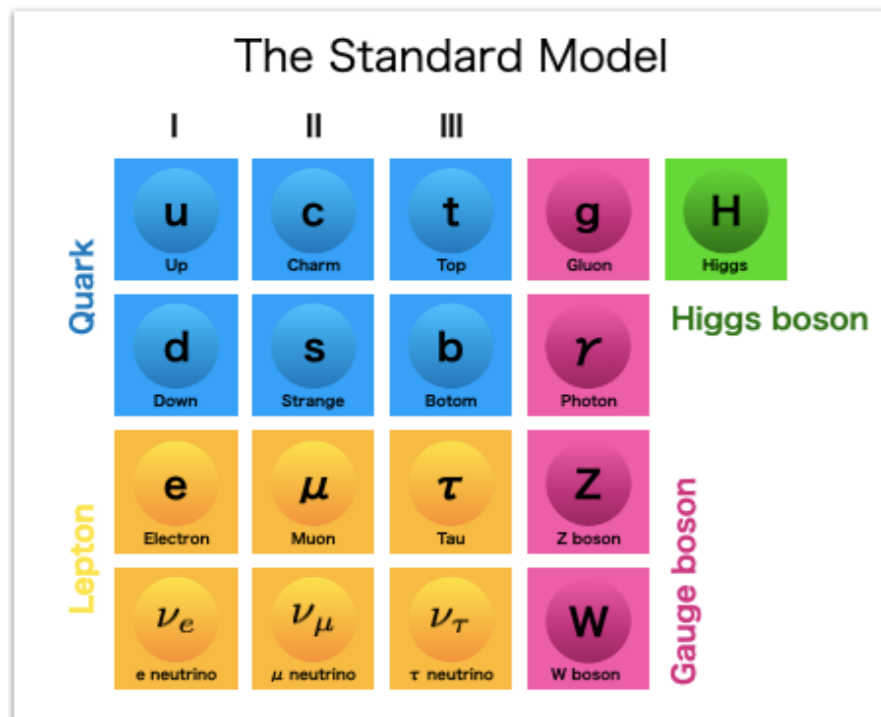
# 導入:バリオン非対称性

バリオン非対称性: 現在の宇宙を構成するのは粒子からなる物質  
反粒子からなる反物質は観測されていない

## サハロフの3条件

### 電弱バリオジェネシス (標準模型)

1. バリオン数の破れ  
→ スファレロン過程
2. C対称性、CP対称性の破れ  
→ カイラルゲージ相互作用、小林益川位相
3. 熱平衡からの離脱  
→ 強い電弱一次相転移



SMのパラメーターはサハロフの  
3条件を満たさない

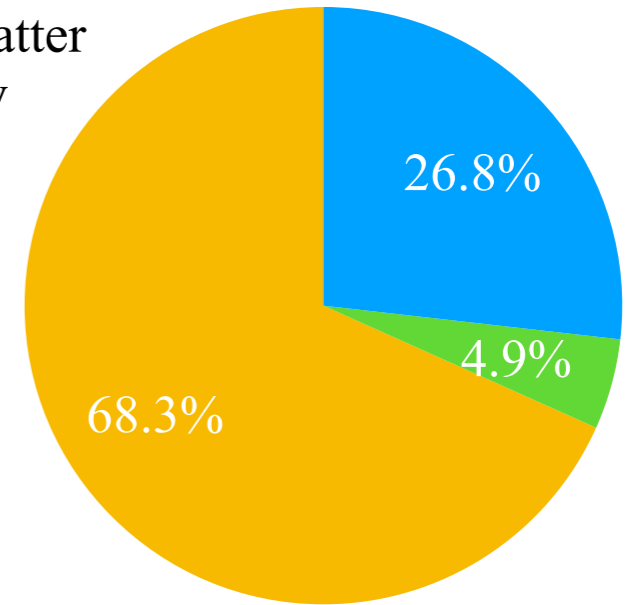
⇒ SMを拡張する必要がある

# 導入: 暗黒物質

暗黒物質の性質

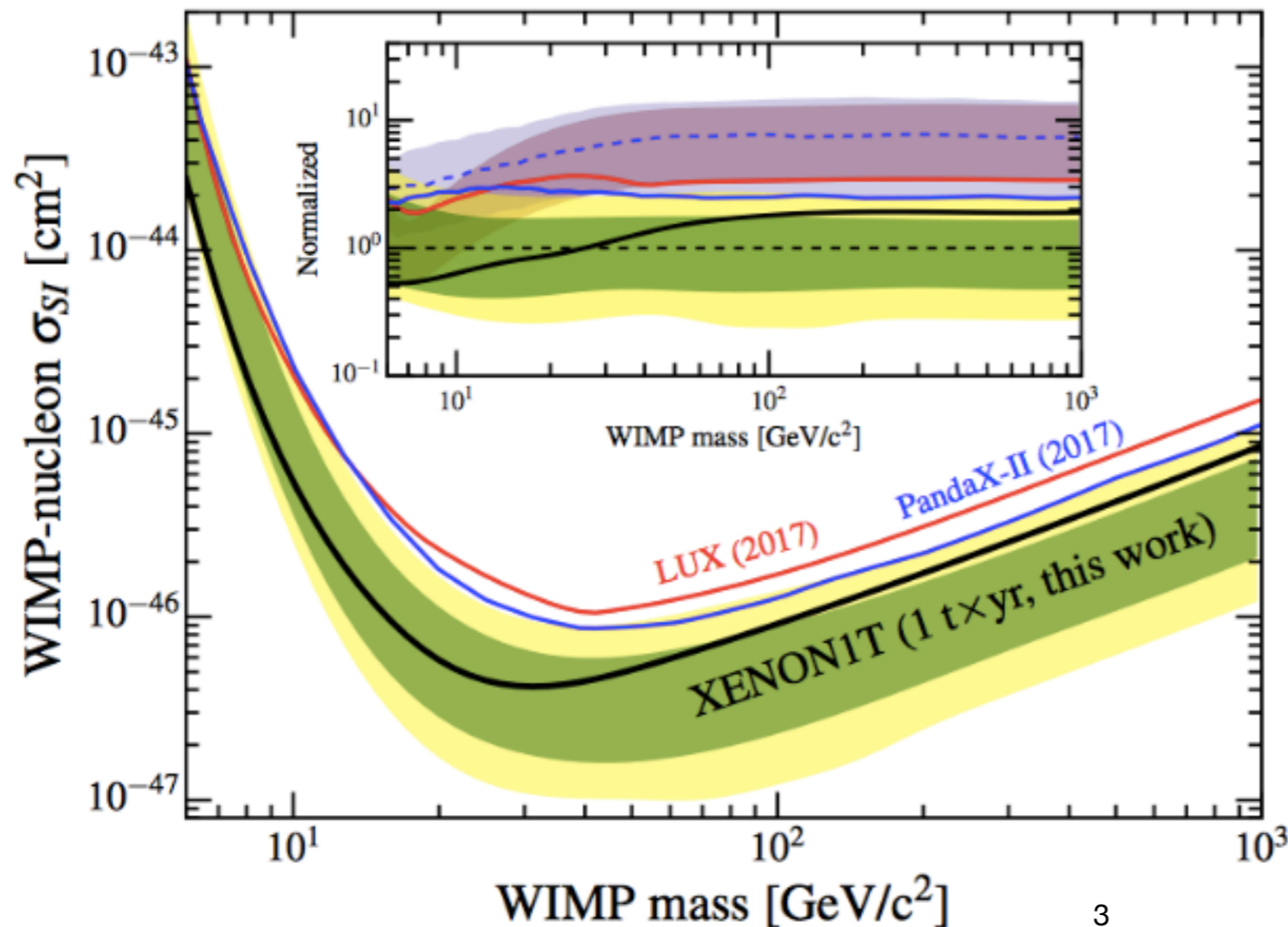
- 1, 質量を持つ
- 2, 電荷を持たない
- 3, 安定である

- Dark matter
- Ordinary matter
- Dark energy



$$\Omega_{\text{DM}} h^2 = 0.120 \pm 0.001$$

Planck Collaboration [arXiv 1807.06209]



暗黒物質を説明するモデルにとって、この制限に抵触しないことが大きな課題

XENON Collaboration  
[arXiv:1805.12562]



# 目次

- 導入
- CxSM
- 縮退スカラーシナリオ
- 縮退スカラーシナリオにおける相転移
- 数値計算
- まとめ

# CxSM

Barger et al, arXiv:0811.0393

## CxSM (Complex singlet extension of the SM)

…SM+ゲージシングレットな複素スカラー場

$$V_0 = \frac{m^2}{2}|H|^2 + \frac{\lambda}{4}|H|^4 + \frac{\delta_2}{2}|H|^2|S|^2 + \frac{b_2}{2}|S|^2 + \frac{d_2}{4}|S|^4 + \left( a_1 S + \frac{b_1}{4} S^2 + \text{c.c.} \right)$$

Global U(1) 対称

Soft breaking term

$$H = \frac{1}{\sqrt{2}} \begin{pmatrix} 0 \\ v+h \end{pmatrix}, \quad S = (v_S + s + i\chi)/\sqrt{2}$$

DM (DMの安定性↔ CP sym.)

質量固有状態

$$\begin{pmatrix} h \\ s \end{pmatrix} = \begin{pmatrix} \cos \alpha & \sin \alpha \\ -\sin \alpha & \cos \alpha \end{pmatrix} \begin{pmatrix} h_1 \\ h_2 \end{pmatrix}$$

質量固有値

$$\Lambda^2 \equiv \frac{d_2}{2} v_S^2 - \sqrt{2} \frac{a_1}{2v_S}$$

$h_1, h_2$

DM

$$m_{h_1, h_2}^2 = \frac{1}{2} \left( \frac{\lambda}{2} v^2 + \Lambda^2 \mp \sqrt{\left( \frac{\lambda}{2} v^2 - \Lambda^2 \right)^2 + 4 \left( \frac{\delta_2}{2} v v_S \right)^2} \right)$$

$$m_\chi^2 = -b_1 - \sqrt{2} \frac{a_1}{v_S}$$

# CxSM

Barger et al, arXiv:0811.0393

## CxSM (Complex singlet extension of the SM)

…SM+ゲージシングレットな複素スカラー場

$$V_0 = \frac{m^2}{2}|H|^2 + \frac{\lambda}{4}|H|^4 + \frac{\delta_2}{2}|H|^2|S|^2 + \frac{b_2}{2}|S|^2 + \frac{d_2}{4}|S|^4 + \left( a_1 S + \frac{b_1}{4} S^2 + \text{c.c.} \right)$$

Global U(1) 対称

Soft breaking term

$$H = \frac{1}{\sqrt{2}} \begin{pmatrix} 0 \\ v+h \end{pmatrix}, \quad S = (v_S + s + i\chi)/\sqrt{2}$$

↑ DM (DMの安定性 ↔ CP sym.)

質量固有状態

$$\begin{pmatrix} h \\ s \end{pmatrix} = \begin{pmatrix} \cos \alpha & \sin \alpha \\ -\sin \alpha & \cos \alpha \end{pmatrix} \begin{pmatrix} h_1 \\ h_2 \end{pmatrix}$$

質量固有値

$$\Lambda^2 \equiv \frac{d_2}{2} v_S^2 - \sqrt{2} \frac{a_1}{2v_S}$$

$h_1, h_2$

DM

$$m_{h_1, h_2}^2 = \left( \frac{m^2}{2} + \frac{\lambda}{4} (v+h)^2 + \frac{\delta_2}{2} (v+h)^2 \frac{(v_S + s + i\chi)^2}{2} + \frac{b_2}{2} (v_S + s + i\chi)^2 + \frac{d_2}{4} (v_S + s + i\chi)^4 \right)$$

**$h_1$  : 125 GeVのヒッグス粒子**

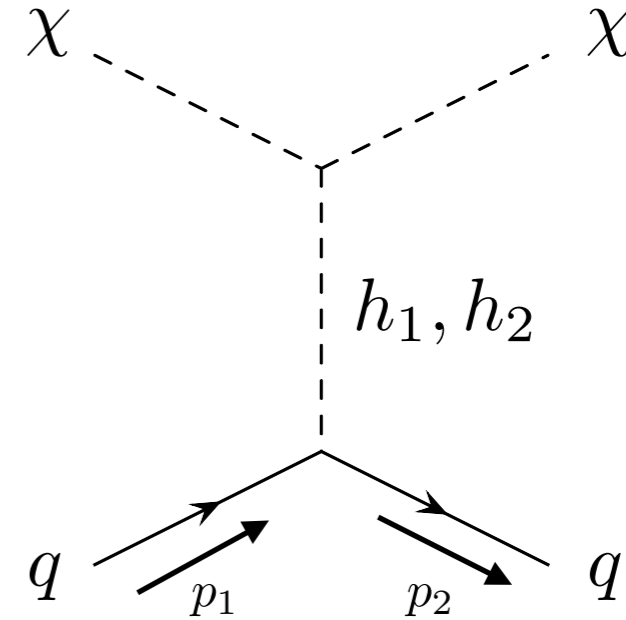
$$m_\chi^2 = -b_1 - \sqrt{2} \frac{a_1}{v_S}$$

# 縮退スカラーシナリオ

Abe, Cho, Mawatari arXiv:2101.04887

$$i\mathcal{M}_{h_1} = -i \frac{m_f}{vv_S} \frac{m_{h_1}^2 + \frac{\sqrt{2}a_1}{v_S}}{t - m_{h_1}^2} \sin \alpha \cos \alpha \bar{u}(p_3)u(p_1),$$

$$i\mathcal{M}_{h_2} = +i \frac{m_f}{vv_S} \frac{m_{h_2}^2 + \frac{\sqrt{2}a_1}{v_S}}{t - m_{h_2}^2} \sin \alpha \cos \alpha \bar{u}(p_3)u(p_1),$$



$$i(\mathcal{M}_{h_1} + \mathcal{M}_{h_2}) = i \frac{m_f}{vv_S} \left( -\frac{m_{h_1}^2 + \frac{\sqrt{2}a_1}{v_S}}{t - m_{h_1}^2} + \frac{m_{h_2}^2 + \frac{\sqrt{2}a_1}{v_S}}{t - m_{h_2}^2} \right) \sin \alpha \cos \alpha \bar{u}(p_3)u(p_1)$$

$$\simeq i \frac{m_f}{vv_S} \sin \alpha \cos \alpha \bar{u}(p_3)u(p_1)$$

$$\times \left\{ \left( \frac{\sqrt{2}a_1}{v_S} + t \right) \left( \frac{1}{m_{h_1}^2} - \frac{1}{m_{h_2}^2} \right) + \frac{\sqrt{2}a_1}{v_S} t \left( \frac{1}{m_{h_1}^4} - \frac{1}{m_{h_2}^4} \right) \right\} @ t \rightarrow 0$$

$$\simeq i \frac{m_f}{vv_S} \sin \alpha \cos \alpha \bar{u}(p_3)u(p_1) \frac{\sqrt{2}a_1}{v_S} \left( \frac{1}{m_{h_1}^2} - \frac{1}{m_{h_2}^2} \right)$$

$$\simeq 0 \quad (m_{h_1} \sim m_{h_2})$$

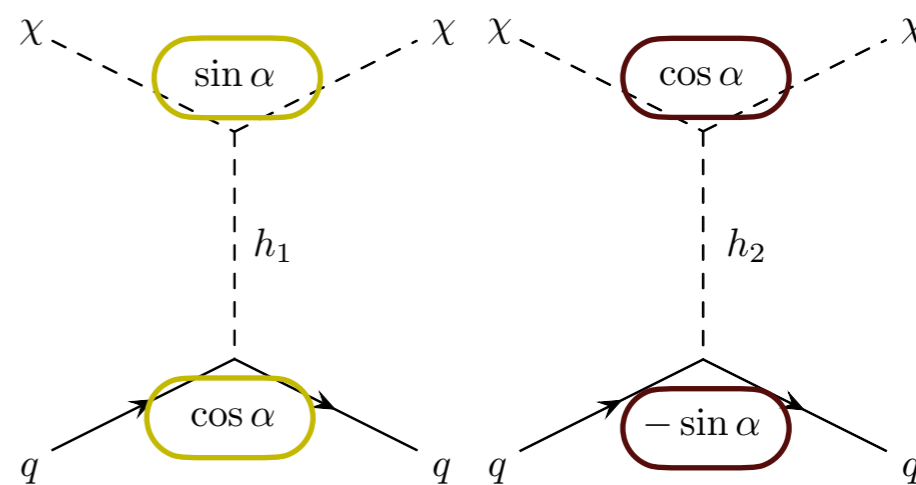
# 縮退スカラーシナリオ

スカラー-3点相互作用

$$\mathcal{L}_S = -\frac{1}{2v_S} \left\{ \left( m_{h_1}^2 + \frac{\sqrt{2}a_1}{v_S} \right) \sin \alpha h_1 \chi^2 + \left( m_{h_2}^2 + \frac{\sqrt{2}a_1}{v_S} \right) \cos \alpha h_2 \chi^2 \right\}$$

湯川相互作用

$$\mathcal{L}_Y = -\frac{m_f}{v} \bar{f} f (h_1 \cos \alpha - h_2 \sin \alpha)$$



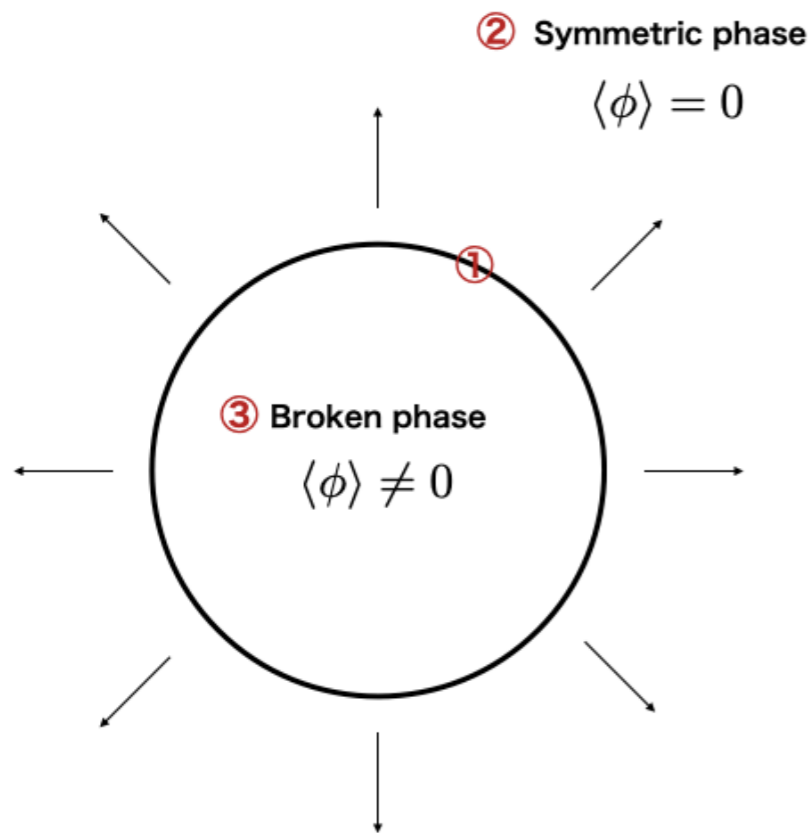
$$h_1 = h_{\text{SM}} \cos \alpha - s \sin \alpha, \quad h_2 = -h_{\text{SM}} \sin \alpha + s \cos \alpha$$

$$\Gamma(h_1 \rightarrow \text{SM}) = \Gamma(h_{\text{SM}} \rightarrow \text{SM})(m_{h_1}) \times \cos^2 \alpha$$

$$\Gamma(h_2 \rightarrow \text{SM}) = \Gamma(h_{\text{SM}} \rightarrow \text{SM})(m_{h_2}) \times \sin^2 \alpha$$

$$\Gamma(h_1 \rightarrow \text{SM}) + \Gamma(h_2 \rightarrow \text{SM}) \simeq \Gamma(h_{\text{SM}} \rightarrow \text{SM}) \text{ for } m_{h_1} \simeq m_{h_2}$$

# 縮退スカラーシナリオ



透過率、反射率

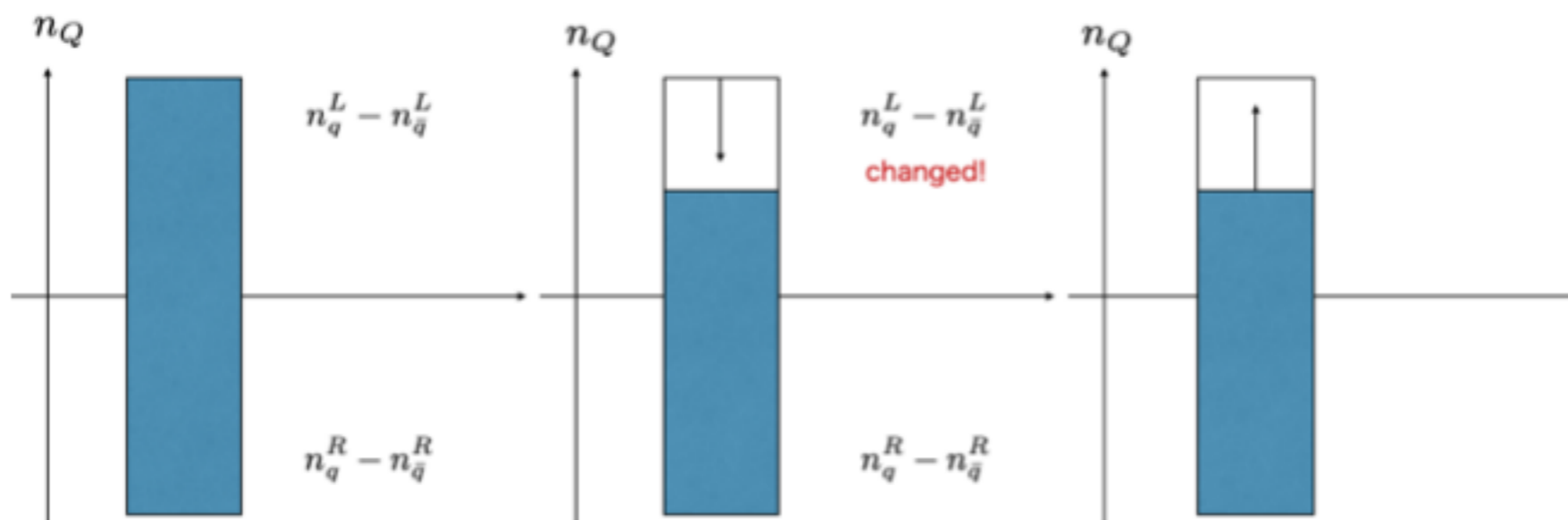
$$\text{左巻きクォーク } q^L = \text{右巻き反クォーク } \bar{q}^R$$

$$\text{左巻き反クォーク } \bar{q}^L = \text{右巻きクォーク } q^R$$

① 壁の上

② Symmetric phase

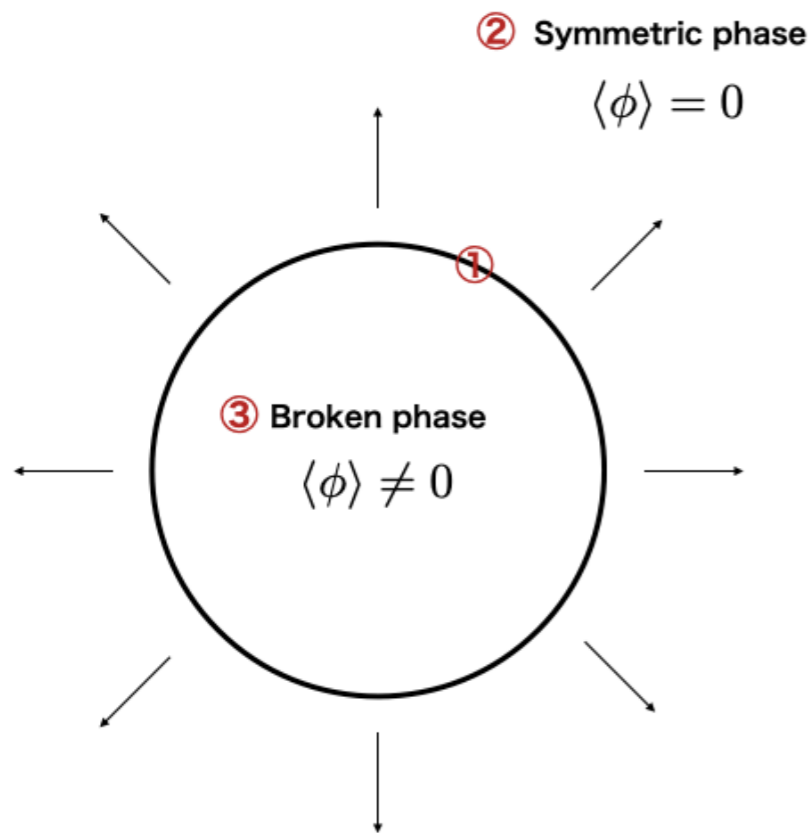
③ Broken phase



$$n_Q \equiv n_q^L - n_{\bar{q}}^L + n_q^R - n_{\bar{q}}^R = 0$$

$$n_Q \equiv n_q^L - n_{\bar{q}}^L + n_q^R - n_{\bar{q}}^R \neq 0$$

# 縮退スカラーシナリオ



透過率、反射率

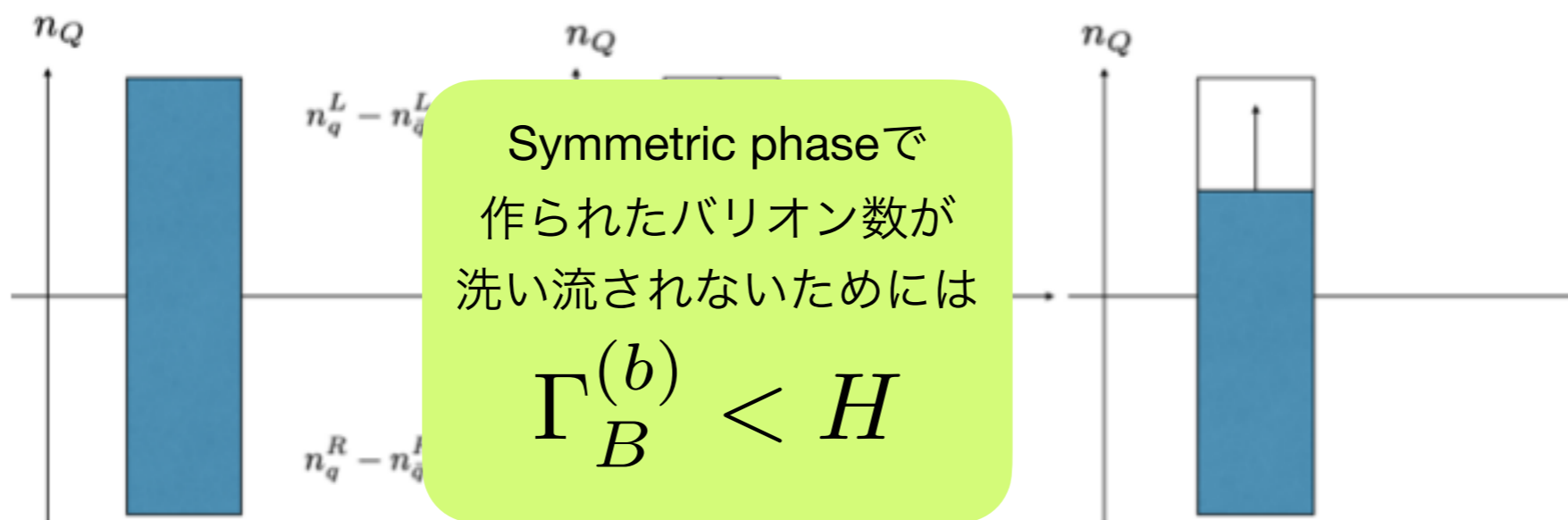
$$\text{左巻きクォーク } q^L = \text{右巻き反クォーク } \bar{q}^R$$

$$\text{左巻き反クォーク } \bar{q}^L = \text{右巻きクォーク } q^R$$

① 壁の上

② Symmetric phase

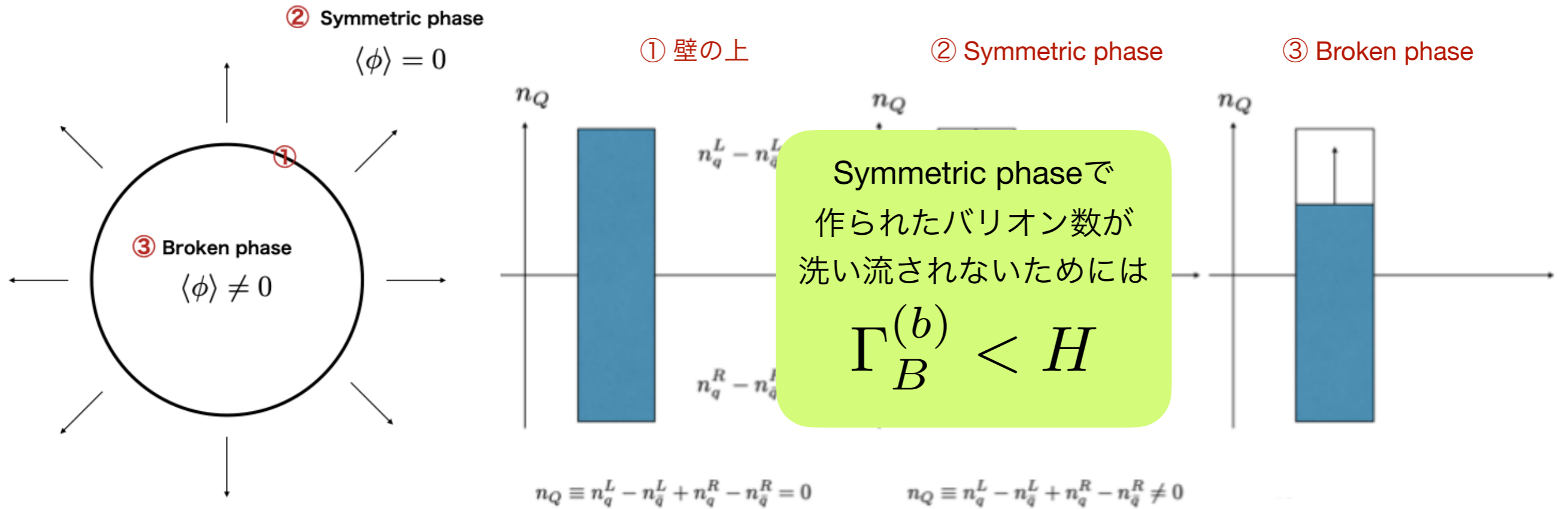
③ Broken phase



$$n_Q \equiv n_q^L - n_{\bar{q}}^L + n_q^R - n_{\bar{q}}^R = 0$$

$$n_Q \equiv n_q^L - n_{\bar{q}}^L + n_q^R - n_{\bar{q}}^R \neq 0$$

# 縮退スカラーシナリオにおける相転移



Broken phaseのバリオン数変化率  $\Gamma_B^{(b)}(T)$

$$\Gamma_B^{(b)}(T) \simeq (\text{pre}) \frac{\Gamma_{\text{sph}}^{(b)}}{T^3} \simeq (\text{pre}) e^{-E_{\text{sph}}/T}$$

が小さくなれば良い

$$E_{\text{sph}} \propto v(T)$$

ヒッグスのvevが  
大きければ良い

→

$$\frac{v_c}{T_c} \gtrsim 1$$

電弱相転移が強い  
一次であれば良い



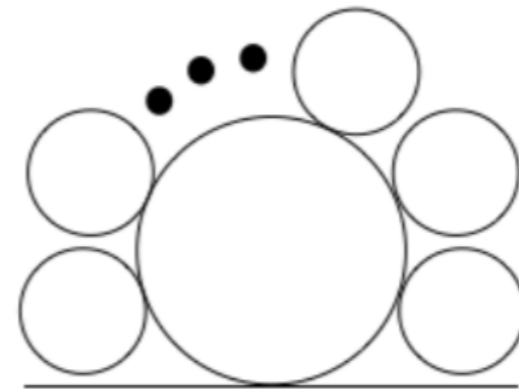
# 縮退スカラーシナリオにおける相転移

相転移の次数(1次,2次)を決定するために有効ポテンシャルを用いる

[one-loopの有効ポテンシャルを評価する2つの方法(gauge dependent)]

$$V_{\text{eff}}(\varphi, \varphi_S; T) = \underbrace{V_0(\varphi, \varphi_S; T)}_{\text{tree level}} + \sum_i n_i \left[ \underbrace{V_{\text{CW}}(\bar{m}_i^2)}_{\text{ゼロ温度 one loop}} + \underbrace{\frac{T^4}{2\pi^2} I_{B,F}\left(\frac{\bar{m}_i^2}{T^2}\right)}_{\text{有限温度 one loop}} \right]$$

**Daisy resummation:** multi-loopを考えると  
 高温で摂動展開が破綻する  
 → field dependent massを書き換える



**Parwani scheme**  $\bar{m}^2$ をthermally corrected FDM  $\bar{M}^2$ に置き換える

**AE scheme**  $V_{\text{daisy}}(\varphi, \varphi_S; T) = \sum_{\substack{i=h_{1,2,\chi} \\ W_L, Z_L, \gamma_L}} -n_i \frac{T}{12\pi} \left[ (\bar{M}_i^2)^{3/2} - (\bar{m}_i^2)^{3/2} \right]$  を加える

# 縮退スカラーシナリオにおける相転移

[別の2つの計算方法(gauge independent)]

**HT potential**  $V^{\text{HT}}(\varphi, \varphi_S; T) = V_0(\varphi, \varphi_S) + \frac{1}{2} (\Sigma_H \varphi^2 + \Sigma_S \varphi_S^2) T^2$

$\Sigma_H, \Sigma_S$  : higgsとcomplex scalarのtwo-point self energy

\* tree levelとthermal massのみ(one loopの寄与を含まない)

**PRM scheme** the Nielsen-Fukuda-Kugo (NFK) identity M. J. Ramsey-Musolf, JHEP 07 (2011), 029.

$$\frac{\partial V_{\text{eff}}(\varphi, \xi)}{\partial \xi} = -C(\varphi, \xi) \frac{\partial V_{\text{eff}}(\varphi, \xi)}{\partial \varphi}$$

$$V_0\left(0, v_{S, \text{tree}}^{\text{sym}}\right) + V_1\left(0, v_{S, \text{tree}}^{\text{sym}}; T\right) = V_0\left(v_{\text{tree}}, v_{S, \text{tree}}\right) + V_1\left(v_{\text{tree}}, v_{S, \text{tree}}; T\right)$$

$v_C, v_{SC}$  と  $v_{SC}^{\text{sym}}$  は  $V^{\text{HT}}$  を使って計算する

\* one loopの寄与を含む

# 縮退スカラーシナリオにおける相転移

	ゲージ依存性	繰り込み可能性 (tree levelの関係が one loopでも成り 立っているか)	One loopの寄与
HT potential	×		×
PRM scheme	×	×	○
Parwani scheme	○	○	○
AE scheme	○	○	○

# 縮退スカラーシナリオにおける相転移

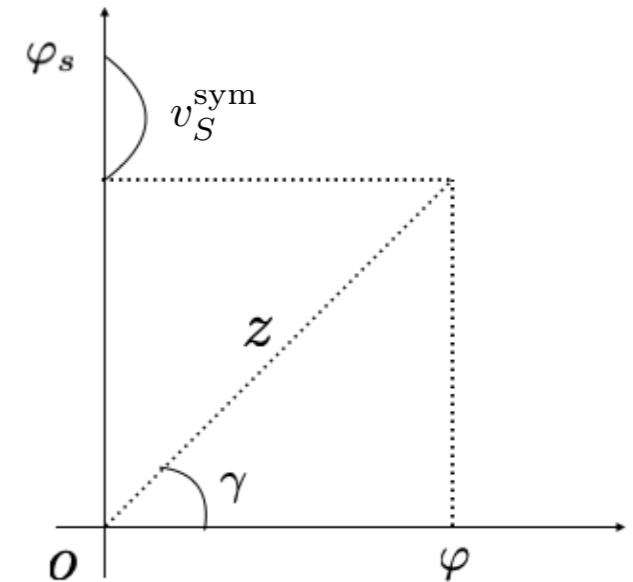
2つのスカラー場を極座標表示する

$$\varphi = z \cos \gamma, \varphi_S = z \sin \gamma + v_S^{\text{sym}}$$

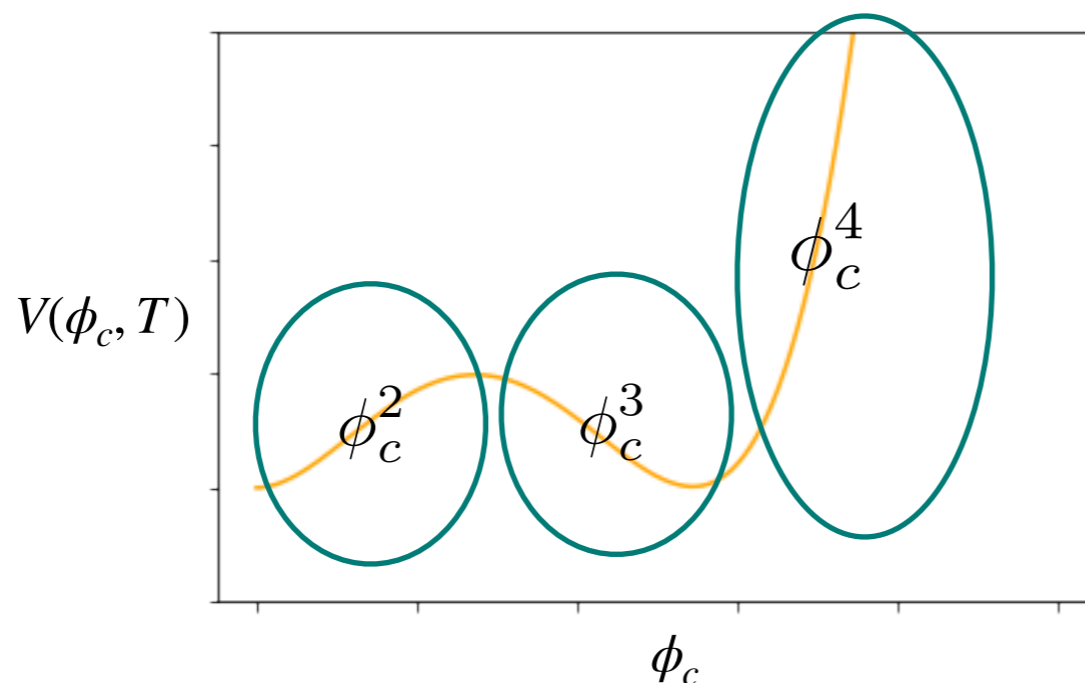
HT potential

$$V^{\text{HT}}(\varphi, \varphi_S; T) = V_0(\varphi, \varphi_S) + \frac{1}{2}(\Sigma_H \varphi^2 + \Sigma_S \varphi_S^2) T^2$$

$$\rightarrow V^{\text{HT}}(z, \gamma; T) = c_0 + c_1 z + (c_2 + c'_2 T^2) z^2 - c_3 z^3 + c_4 z^4$$



cf.) SMの場合  $V(\phi_c, T) = D(T^2 - T_o^2)\phi_c^2 - ET\phi_c^3 + \frac{\lambda(T)}{4}\phi_c^4$



1次相転移を起こすには場の3次の項が必要

# 縮退スカラーシナリオにおける相転移

一次相転移が起こるとき

$$T_C \simeq \sqrt{\frac{1}{2\Sigma_H} \left( -m^2 - \frac{(v_{SC}^{\text{sym}})^2}{2} \delta_2 \right)},$$
$$v_C \simeq \sqrt{\frac{2\delta_2 (v_{SC}^{\text{sym}})^2}{\lambda} \left( 1 - \frac{v_{SC}}{v_{SC}^{\text{sym}}} \right)}$$

SFOEWPTの条件

$$\frac{v_C}{T_C} \gtrsim 1$$

$$v_C = \lim_{T \nearrow T_C} v(T)$$
$$v_{SC} = \lim_{T \nearrow T_C} v_S(T)$$
$$v_{SC}^{\text{sym}} = \lim_{T \searrow T_C} v_S(T)$$

# 縮退スカラーシナリオにおける相転移

Tree level potential  $V_0 = \frac{m^2}{2}|H|^2 + \frac{\lambda}{4}|H|^4 + \frac{\delta_2}{2}|H|^2|S|^2 + \frac{b_2}{2}|S|^2 + \frac{d_2}{4}|S|^4 + \left( a_1 S + \frac{b_1}{4} S^2 + \text{c.c.} \right)$

$$T_C \simeq \sqrt{\frac{1}{2\Sigma_H} \left( -m^2 - \frac{(v_{SC}^{\text{sym}})^2}{2} \delta_2 \right)},$$

$$v_C \simeq \sqrt{\frac{2\delta_2 (v_{SC}^{\text{sym}})^2}{\lambda} \left( 1 - \frac{v_{SC}}{v_{SC}^{\text{sym}}} \right)}$$

SFOEWPTの条件

$$\frac{v_C}{T_C} \gtrsim 1$$

About  $T_C$

$T_C \rightarrow$  小さい,  $\delta_2 \rightarrow$  正かつ大きい

$$\delta_2 = \frac{2}{vv_S} (m_{h_1}^2 - m_{h_2}^2) \sin \alpha \cos \alpha$$

$v_S \rightarrow$  小さい,  $\alpha \rightarrow$  最大角  $\frac{\pi}{4}$

# 縮退スカラーシナリオにおける相転移

Tree level potential  $V_0 = \frac{m^2}{2}|H|^2 + \frac{\lambda}{4}|H|^4 + \frac{\delta_2}{2}|H|^2|S|^2 + \frac{b_2}{2}|S|^2 + \frac{d_2}{4}|S|^4 + \left( a_1 S + \frac{b_1}{4} S^2 + \text{c.c.} \right)$

$$T_C \simeq \sqrt{\frac{1}{2\Sigma_H} \left( -m^2 - \frac{(v_{SC}^{\text{sym}})^2}{2} \delta_2 \right)},$$

$$v_C \simeq \sqrt{\frac{2\delta_2 (v_{SC}^{\text{sym}})^2}{\lambda} \left( 1 - \frac{v_{SC}}{v_{SC}^{\text{sym}}} \right)}$$

SFOEWPTの条件

$$\frac{v_C}{T_C} \gtrsim 1$$

About  $T_C$

$T_C \rightarrow$  小さい,  $\delta_2 \rightarrow$  正かつ大きい

$$\delta_2 = \frac{2}{vv_S} (m_{h_1}^2 - m_{h_2}^2) \sin \alpha \cos \alpha$$

$v_S \rightarrow$  小さい,  $\alpha \rightarrow$  最大角  $\frac{\pi}{4}$

# 縮退スカラーシナリオにおける相転移

$$V_0 = \frac{m^2}{2}|H|^2 + \frac{\lambda}{4}|H|^4 + \frac{\delta_2}{2}|H|^2|S|^2 + \frac{b_2}{2}|S|^2 + \frac{d_2}{4}|S|^4 + \left( a_1 S + \frac{b_1}{4} S^2 + \text{c.c.} \right)$$

$$T_C \simeq \sqrt{\frac{1}{2\Sigma_H} \left( -m^2 - \frac{(v_{SC}^{\text{sym}})^2}{2} \delta_2 \right)},$$

$$v_C \simeq \sqrt{\frac{2\delta_2 (v_{SC}^{\text{sym}})^2}{\lambda} \left( 1 - \frac{v_{SC}}{v_{SC}^{\text{sym}}} \right)}$$

SFOEWPTの条件

$$\frac{v_C}{T_C} \gtrsim 1$$

About  $v_C$

$v_C \rightarrow$  大きい、 $(v_{SC}^{\text{sym}})^2 (1 - v_{SC}/v_{SC}^{\text{sym}})$  は増幅因子

$$(v_{SC}^{\text{sym}})^3 + A v_{SC}^{\text{sym}} + B = 0$$

$$A = 2(b_1 + b_2 + 2\Sigma_S) / d_2$$

$$B = 4\sqrt{2}a_1 / d_2$$

$v_{SC}^{\text{sym}}$  は  $1/\sqrt{d_2}$  によってスケールされる  $\therefore d_2 \rightarrow \text{small}$

$$d_2 = \frac{2}{v_S^2} \left[ m_{h_1}^2 + (m_{h_2}^2 - m_{h_1}^2) \cos^2 \alpha + \frac{\sqrt{2}a_1}{v_S} \right] \simeq \frac{2}{v_S^2} \left[ m_{h_1}^2 + \frac{\sqrt{2}a_1}{v_S} \right] \quad a_1 < 0$$



# 縮退スカラーシナリオにおける相転移

$$V_0 = \frac{m^2}{2}|H|^2 + \frac{\lambda}{4}|H|^4 + \frac{\delta_2}{2}|H|^2|S|^2 + \frac{b_2}{2}|S|^2 + \frac{d_2}{4}|S|^4 + \left( a_1 S + \frac{b_1}{4} S^2 + \text{c.c.} \right)$$

$$T_C \simeq \sqrt{\frac{1}{2\Sigma_H} \left( -m^2 - \frac{(v_{SC}^{\text{sym}})^2}{2} \delta_2 \right)},$$

$$v_C \simeq \sqrt{\frac{2\delta_2 (v_{SC}^{\text{sym}})^2}{\lambda} \left( 1 - \frac{v_{SC}}{v_{SC}^{\text{sym}}} \right)}$$

SFOEWPTの条件

$$\frac{v_C}{T_C} \gtrsim 1$$

About  $v_C$

$v_C \rightarrow$  大きい、 $(v_{SC}^{\text{sym}})^2 (1 - v_{SC}/v_{SC}^{\text{sym}})$  は増幅因子

$$(v_{SC}^{\text{sym}})^3 + A v_{SC}^{\text{sym}} + B = 0$$

$$A = 2(b_1 + b_2 + 2\Sigma_S)/d_2$$

$$B = 4\sqrt{2}a_1/d_2$$

$v_{SC}^{\text{sym}}$  は  $1/\sqrt{d_2}$  によってスケールされる  $\therefore d_2 \rightarrow \text{small}$

$$d_2 = \frac{2}{v_S^2} \left[ m_{h_1}^2 + (m_{h_2}^2 - m_{h_1}^2) \cos^2 \alpha + \frac{\sqrt{2}a_1}{v_S} \right] \simeq \frac{2}{v_S^2} \left[ m_{h_1}^2 + \frac{\sqrt{2}a_1}{v_S} \right] \quad a_1 < 0$$

# 縮退スカラーシナリオにおける相転移

$$V_0 = \frac{m^2}{2}|H|^2 + \frac{\lambda}{4}|H|^4 + \frac{\delta_2}{2}|H|^2|S|^2 + \frac{b_2}{2}|S|^2 + \frac{d_2}{4}|S|^4 + \left( a_1 S + \frac{b_1}{4} S^2 + \text{c.c.} \right)$$

$$T_C \simeq \sqrt{\frac{1}{2\Sigma_H} \left( -m^2 - \frac{(v_{SC}^{\text{sym}})^2}{2} \delta_2 \right)},$$

$$v_C \simeq \sqrt{\frac{2\delta_2 (v_{SC}^{\text{sym}})^2}{\lambda} \left( 1 - \frac{v_{SC}}{v_{SC}^{\text{sym}}} \right)}$$

SFOEWPTの条件

$$\frac{v_C}{T_C} \gtrsim 1$$

About  $v_C$

$v_C \rightarrow$  大きい、 $(v_{SC}^{\text{sym}})^2 (1 - v_{SC}/v_{SC}^{\text{sym}})$  は増幅因子

$$(v_{SC}^{\text{sym}})^3 + A v_{SC}^{\text{sym}} + B = 0$$

$$A = 2(b_1 + b_2 + 2\Sigma_S)/d_2$$

$$B = 4\sqrt{2}a_1/d_2$$

$v_{SC}^{\text{sym}}$  は  $1/\sqrt{d_2}$  によってスケールされる  $\therefore d_2 \rightarrow$  small

$$d_2 = \frac{2}{v_S^2} \left[ m_{h_1}^2 + (m_{h_2}^2 - m_{h_1}^2) \cos^2 \alpha + \frac{\sqrt{2}a_1}{v_S} \right] \simeq \frac{2}{v_S^2} \left[ m_{h_1}^2 + \frac{\sqrt{2}a_1}{v_S} \right] \quad a_1 < 0$$

(1) 正かつ大きな  $\delta_2$   $\therefore |\alpha| \simeq \frac{\pi}{4}$  and  $v_S < 1$  GeV

(2) 小さな  $d_2$   $\therefore a_1 < 0$  かつ 適当な値

# 縮退スカラーシナリオにおける相転移

## パラメーターに課されるその他の制限

- $(v, v_S)$  で与えられるEW vacuumと  $(0, v_S^{\text{sym}})$  で与えられるlocal vacuum間のエネルギー差

$$\begin{aligned}\Delta E &= V_0(0, v_S^{\text{sym}}) - V_0(v, v_S) \\ &= \sqrt{2}a_1(v_S^{\text{sym}} - v_S) + \frac{1}{4}(b_1 + b_2)\left((v_S^{\text{sym}})^2 - v_S^2\right) + \frac{d_2}{16}\left((v_S^{\text{sym}})^4 - v_S^4\right) \\ &\quad - \frac{m^2}{4}v^2 - \frac{\lambda}{16}v^4 - \frac{\delta_2}{8}v^2v_S^2 > 0\end{aligned}$$

$\delta_2 \gg 1, d_2 \ll 1$  のとき  $\Delta E$  は負になってしまう  $\rightarrow \delta_2$  には上限、 $d_2$  には下限が存在する

- ポテンシャルが負に落ち込まない  $\lambda > 0, d_2 > 0, \lambda d_2 > \delta_2^2$

- 真空の安定性  $\lambda \left( d_2 + \frac{2\sqrt{2}|a_1|}{v_S^3} \right) > \delta_2^2$

- 摂動論からの要請  $\lambda \leq \frac{16}{3}\pi, d_2 \leq \frac{16}{3}\pi$

# 数値計算

2つのベンチマークポイント

Inputs	$v$ [GeV]	$m_{h_1}$ [GeV]	$m_{h_2}$ [GeV]	$\alpha$ [rad]	$a_1$ [GeV <sup>3</sup> ]	$v_S$ [GeV]	$m_\chi$ [GeV]
BP1	246.22	125	124	$\pi/4$	-6576.17	0.6	62.5
BP2	246.22	125	126	$-\pi/4$	-6682.25	0.6	62.5
Outputs	$m^2$ [GeV <sup>2</sup> ]	$b_1$ [GeV <sup>2</sup> ]	$b_2$ [GeV <sup>2</sup> ]	$\lambda$	$a_1$ [GeV <sup>3</sup> ]	$d_2$	$\delta_2$
BP1	$-(124.5)^2$	$-(107.7)^2$	$-(178.0)^2$	0.511	-6576.17	1.77	1.69
BP2	$-(125.5)^2$	$-(108.8)^2$	$-(178.4)^2$	0.520	-6682.25	1.70	1.59

BP1におけるDMの残存量 $\Omega_\chi h^2$ とDM-核子散乱断面積 $\sigma_{SI}$ を計算する。

(しばらくの間、 $m_\chi$ は変数として扱う)

# 数値計算

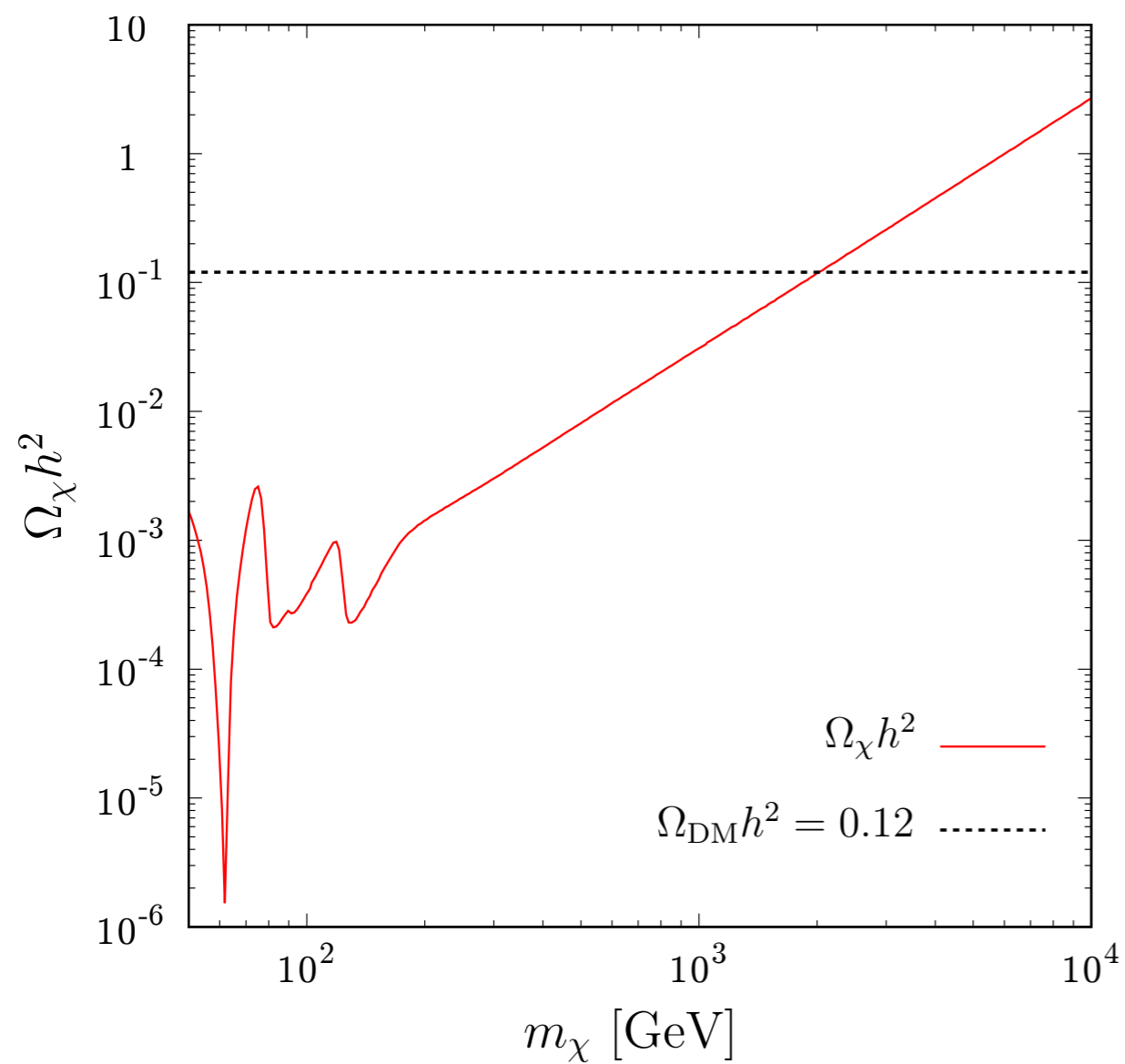
2つのベンチマークポイント

Inputs	$v$ [GeV]	$m_{h_1}$ [GeV]	$m_{h_2}$ [GeV]	$\alpha$ [rad]	$a_1$ [GeV <sup>3</sup> ]	$v_S$ [GeV]	$m_\chi$ [GeV]
BP1	246.22	125	124	$\pi/4$	-6576.17	0.6	Variable
BP2	246.22	125	126	$-\pi/4$	-6682.25	0.6	Variable
Outputs	$m^2$ [GeV <sup>2</sup> ]	$b_1$ [GeV <sup>2</sup> ]	$b_2$ [GeV <sup>2</sup> ]	$\lambda$	$a_1$ [GeV <sup>3</sup> ]	$d_2$	$\delta_2$
BP1	$-(124.5)^2$	$-(107.7)^2$	$-(178.0)^2$	0.511	-6576.17	1.77	1.69
BP2	$-(125.5)^2$	$-(108.8)^2$	$-(178.4)^2$	0.520	-6682.25	1.70	1.59

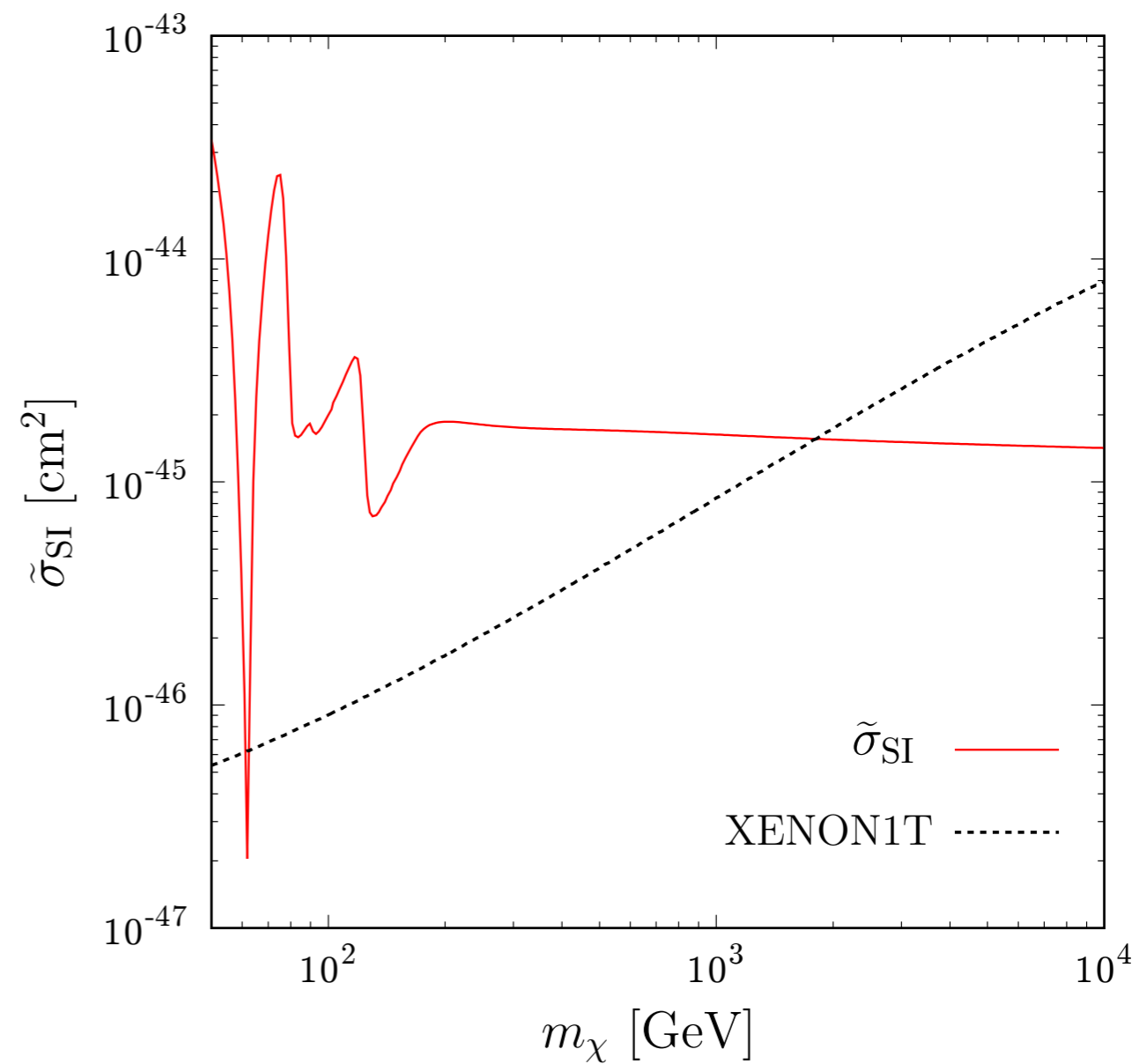
BP1におけるDMの残存量 $\Omega_\chi h^2$ とDM-核子散乱断面積 $\sigma_{SI}$ を計算する。

(しばらくの間、 $m_\chi$ は変数として扱う)

# 数值計算

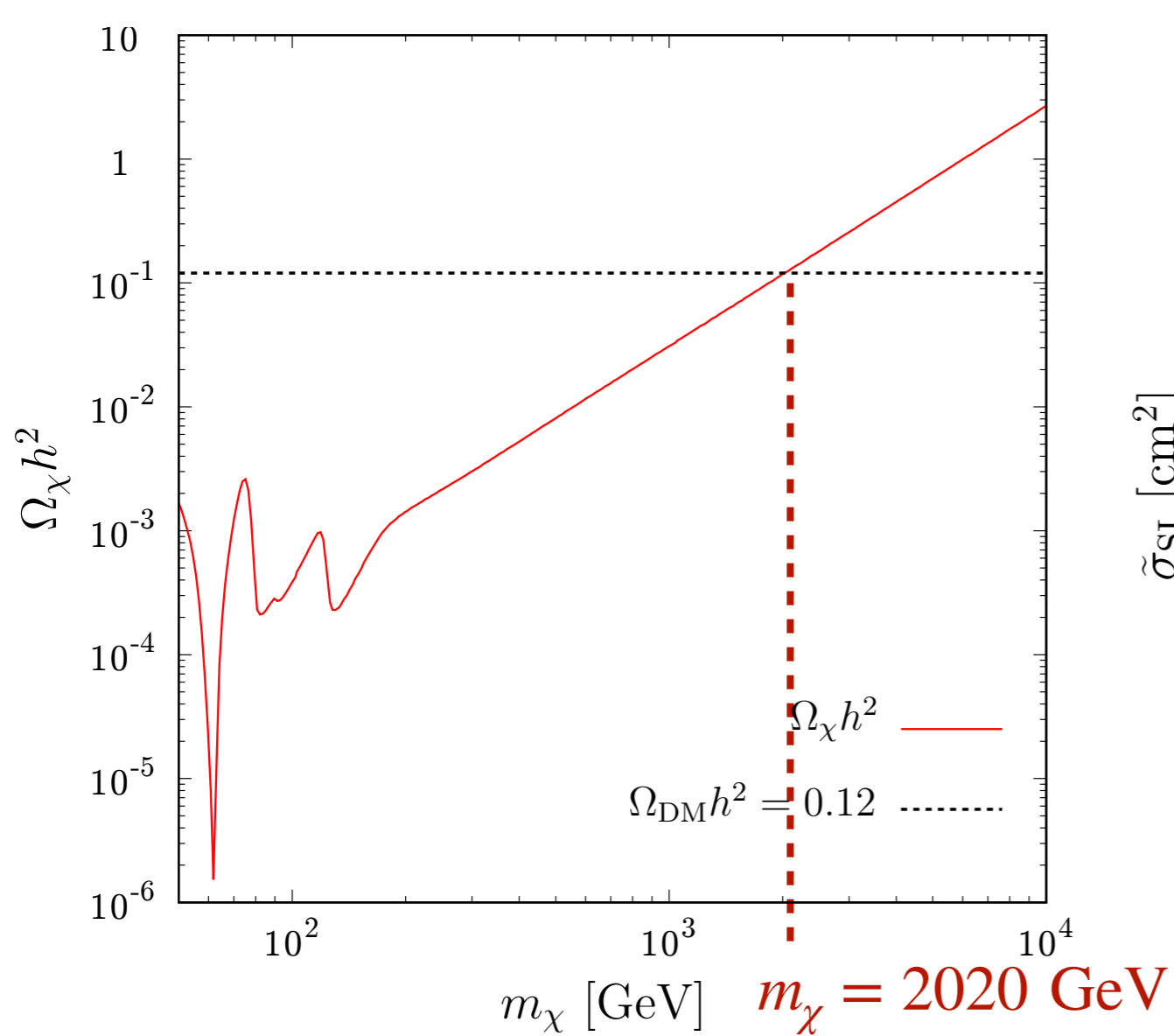


DM残存量  $\Omega_\chi h^2$

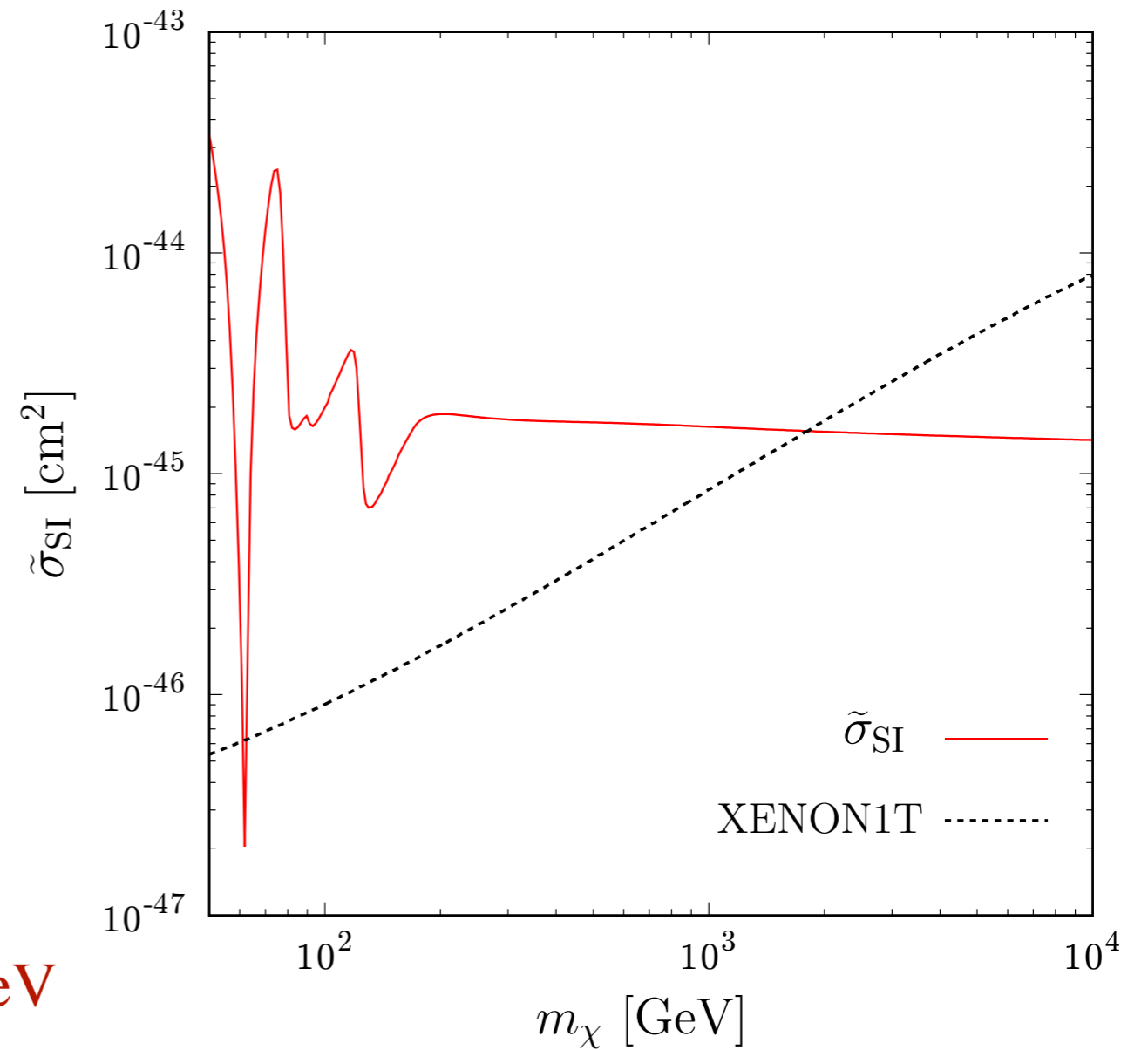


DM-核子散乱断面積  $\sigma_{\text{SI}}$

# 数值計算

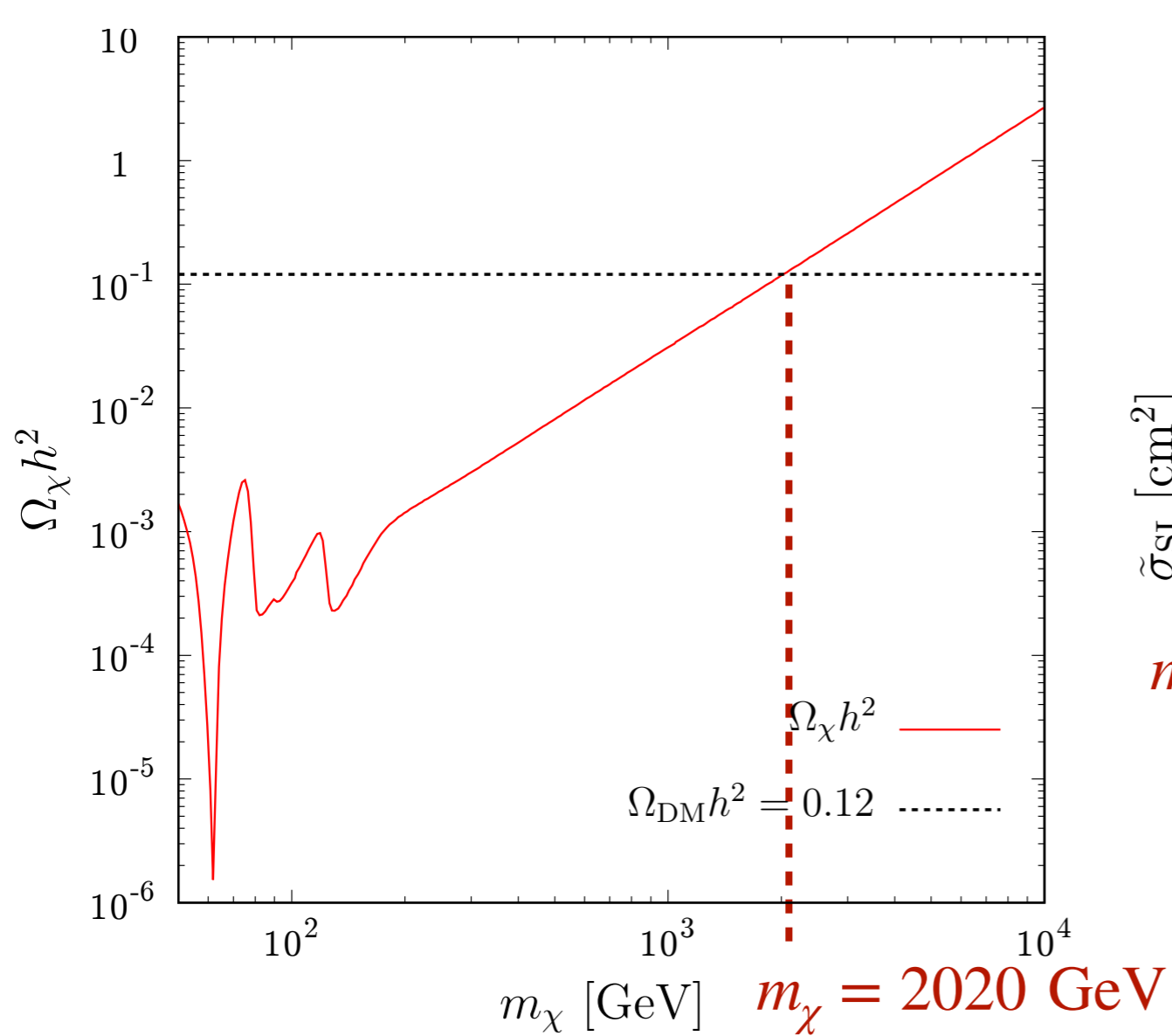


DM残存量  $\Omega_\chi h^2$

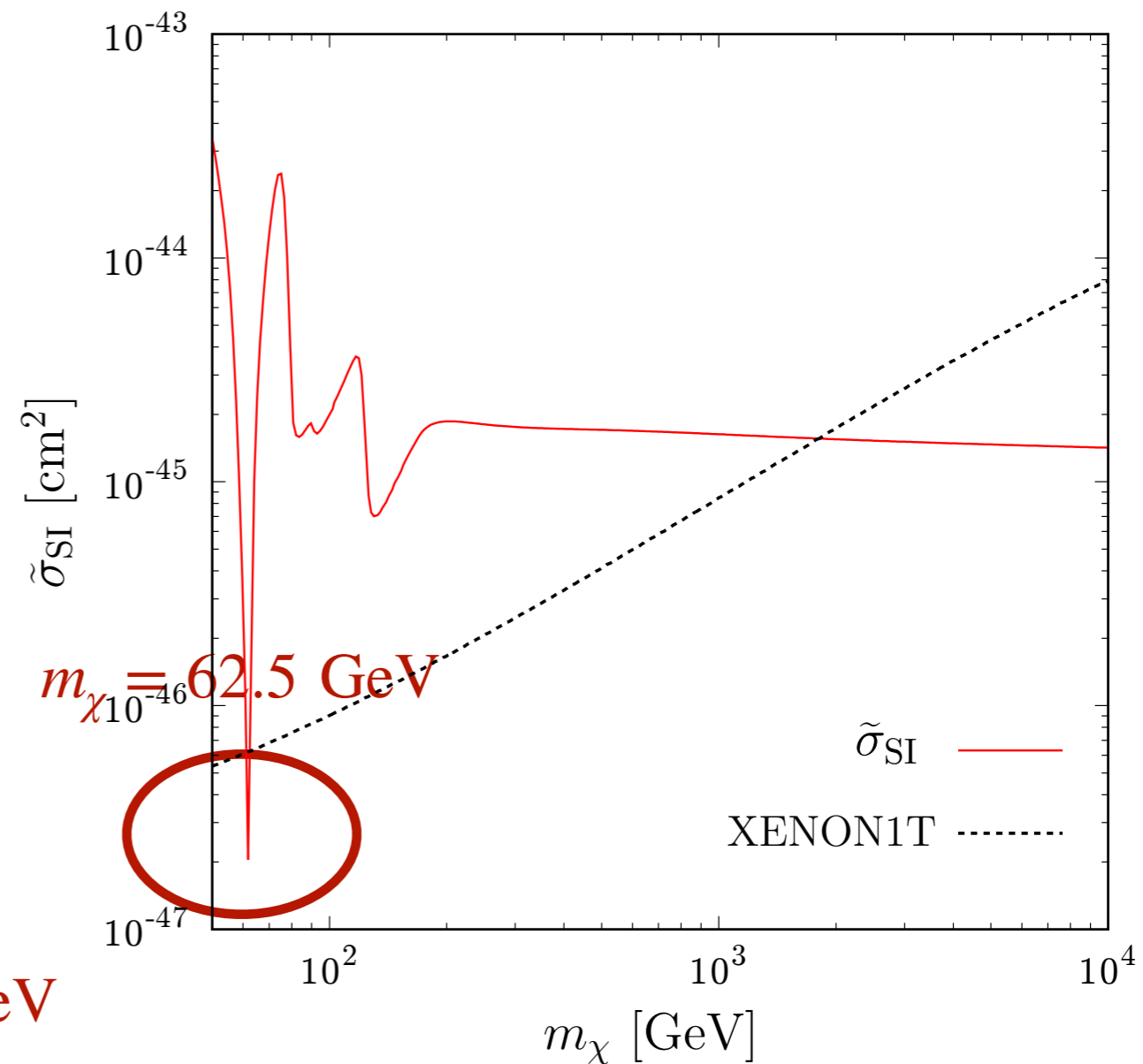


DM-核子散乱断面積  $\sigma_{\text{SI}}$

# 数值計算



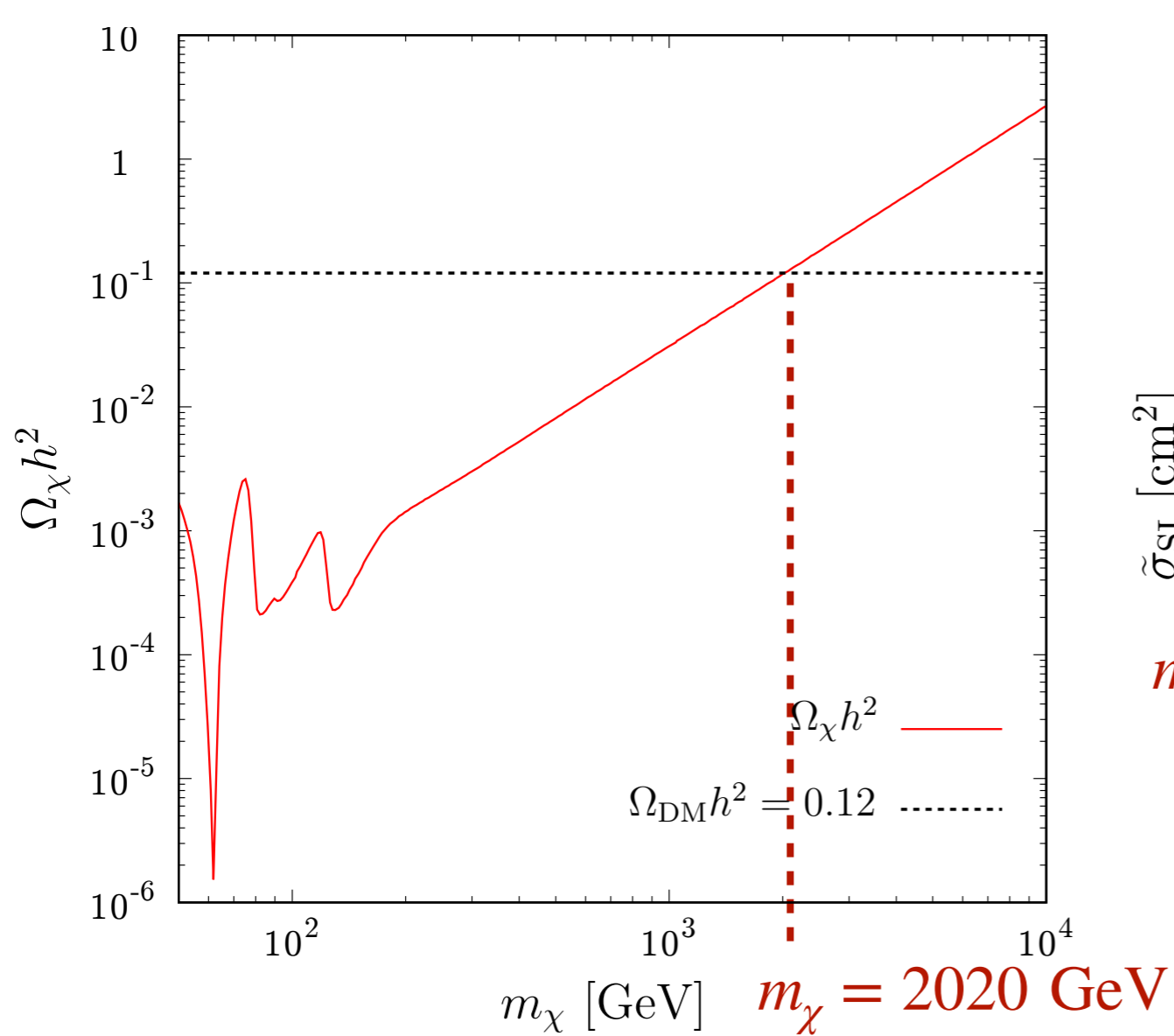
DM残存量  $\Omega_\chi h^2$



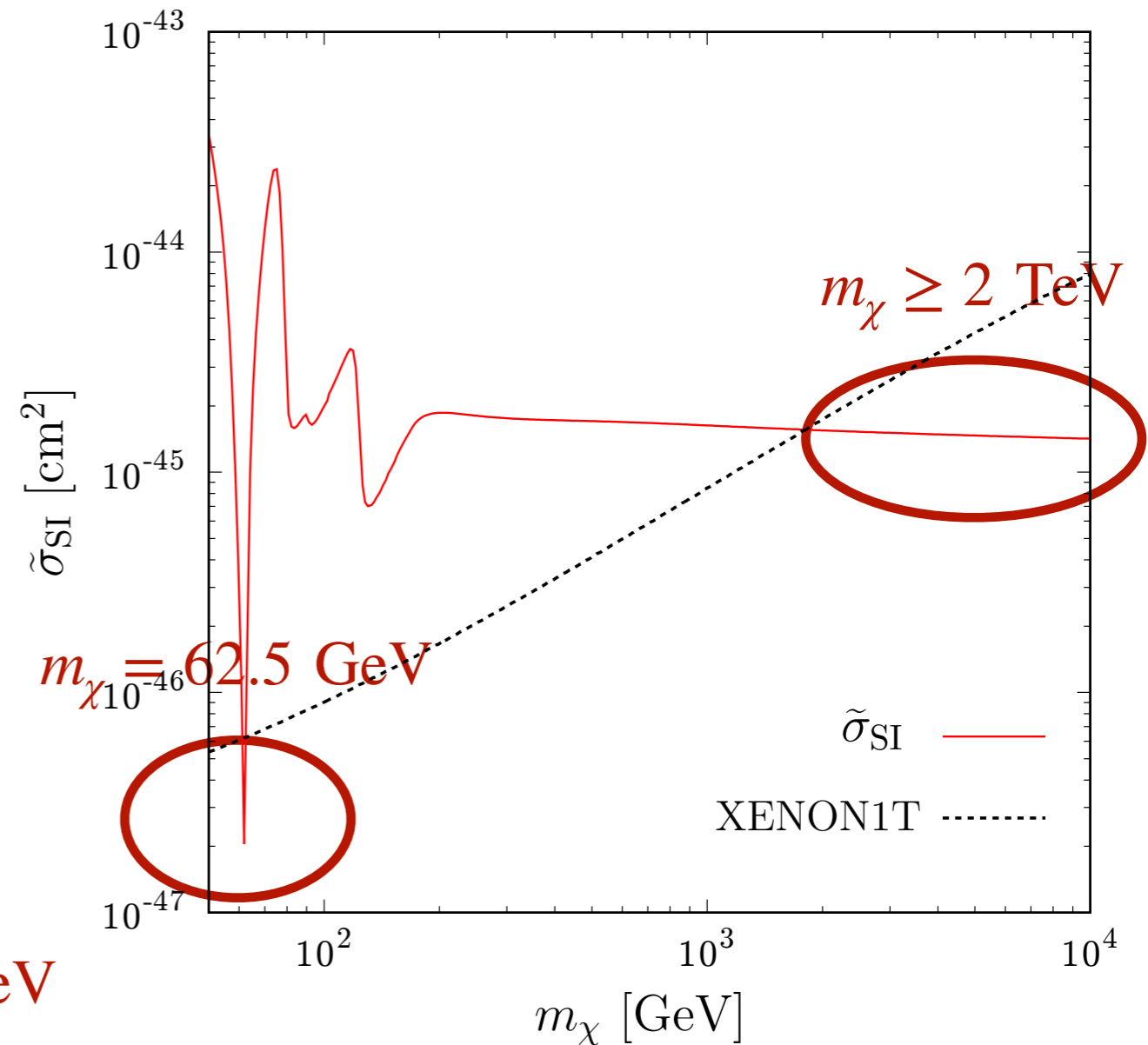
DM-核子散乱断面積  $\sigma_{\text{SI}}$



# 数值計算

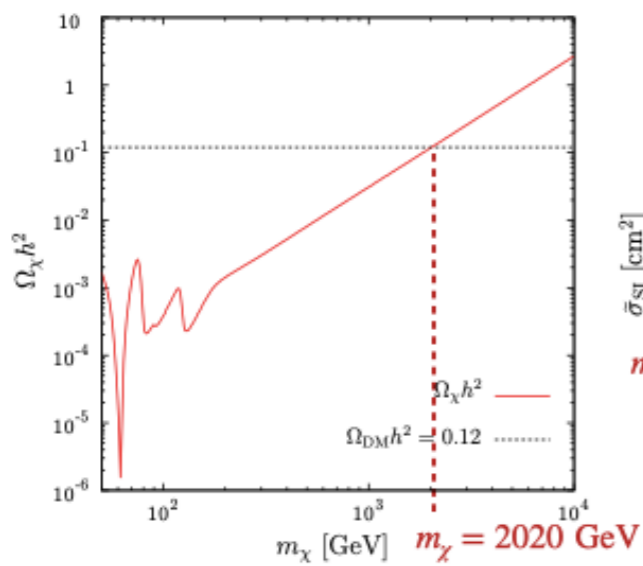


DM残存量  $\Omega_\chi h^2$

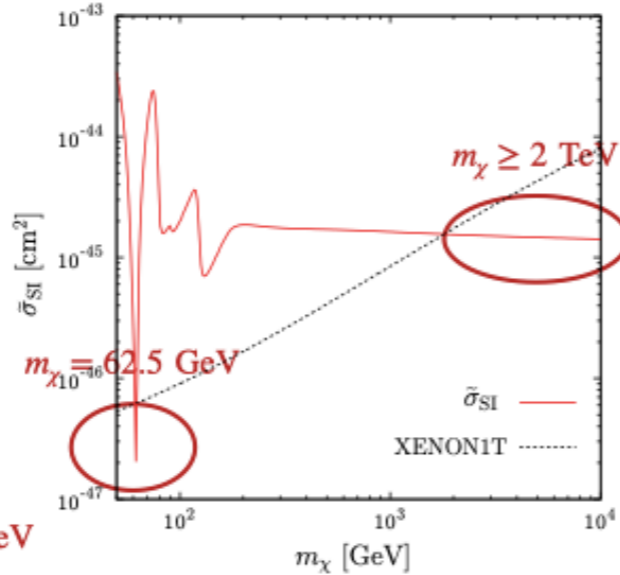


DM-核子散乱断面積  $\sigma_{\text{SI}}$

# 数値計算

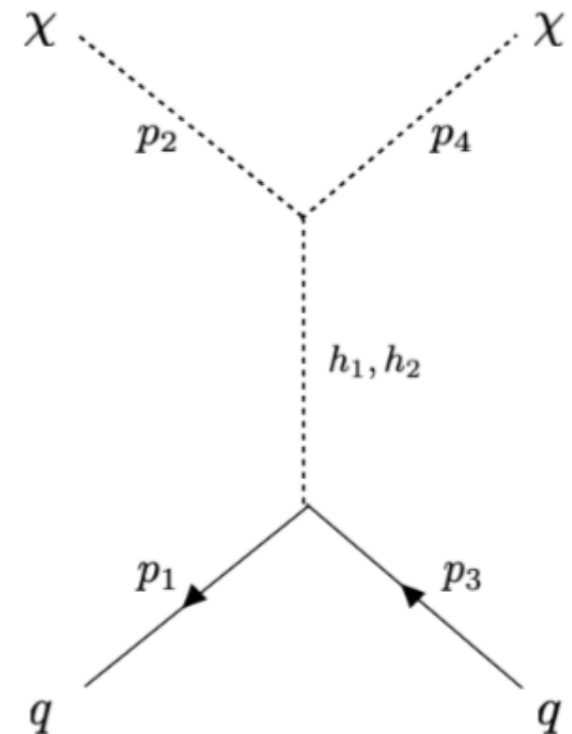


DM残存量  $\Omega_\chi h^2$



DM-核子散乱断面積  $\sigma_{SI}$

DM  $\chi$  とクォーク  $q$  の散乱



$$\sigma_{SI} \propto \sin^2 \alpha \cos^2 \alpha \left( \frac{1}{m_{h_1}^2} - \frac{1}{m_{h_2}^2} \right)^2 \frac{a_1^2}{v_S^4} = \frac{\delta_2^2 v^2}{4m_{h_1}^4 m_{h_2}^4} \frac{a_1^2}{v_S^2}$$

$$\delta_2 = \frac{2}{vv_S} (m_{h_1}^2 - m_{h_2}^2) \sin \alpha \cos \alpha$$

SFOEWPT

$\delta_2 \rightarrow$  大

$v_S \rightarrow$  小

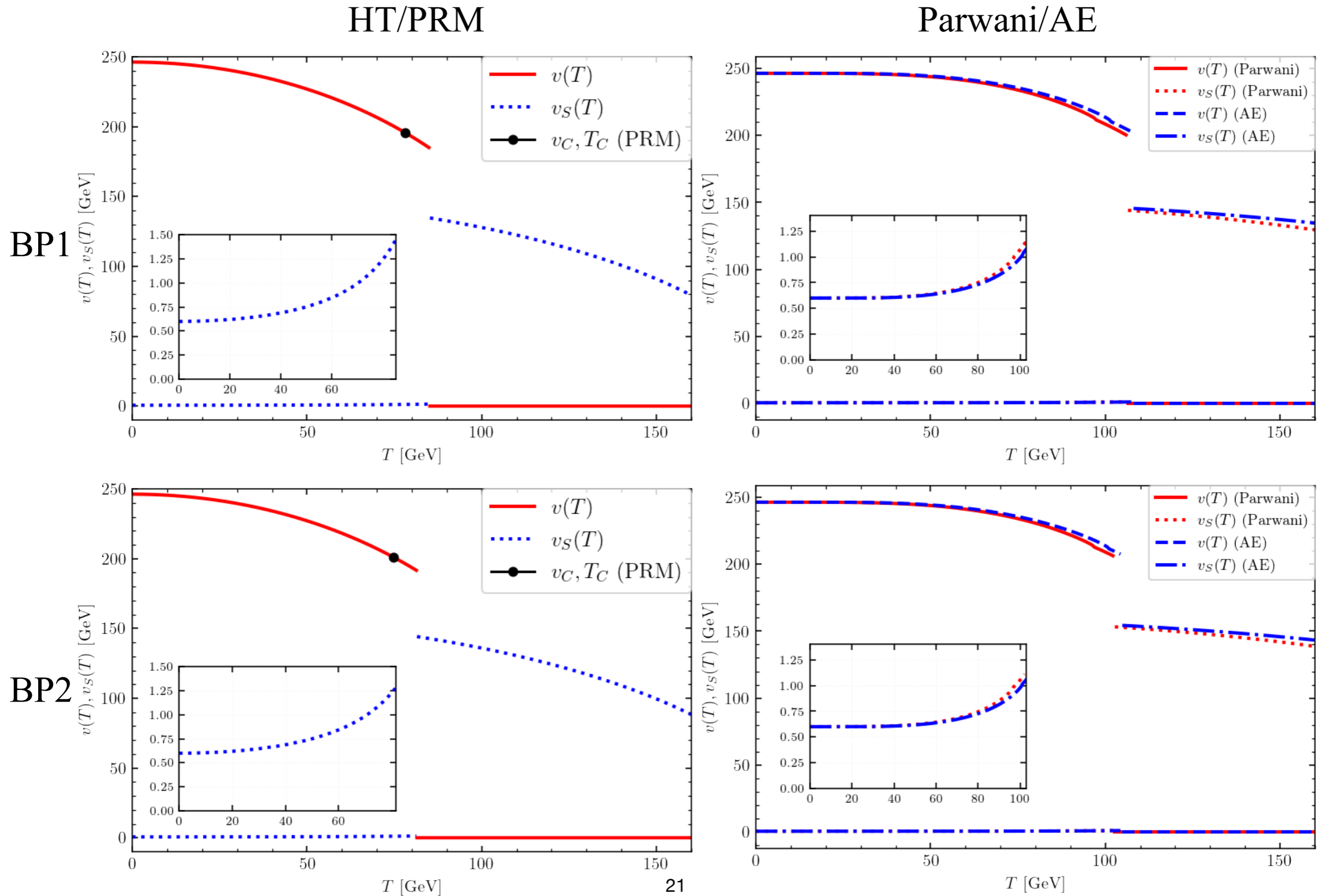
(1 GeV以下)

縮退スカラーシナリオにおける抑制メカニズム：

適度な大きさを持つ  $v_S$  に対して、 $m_{h_1} \simeq m_{h_2}$  による  $\delta_2$  の抑制

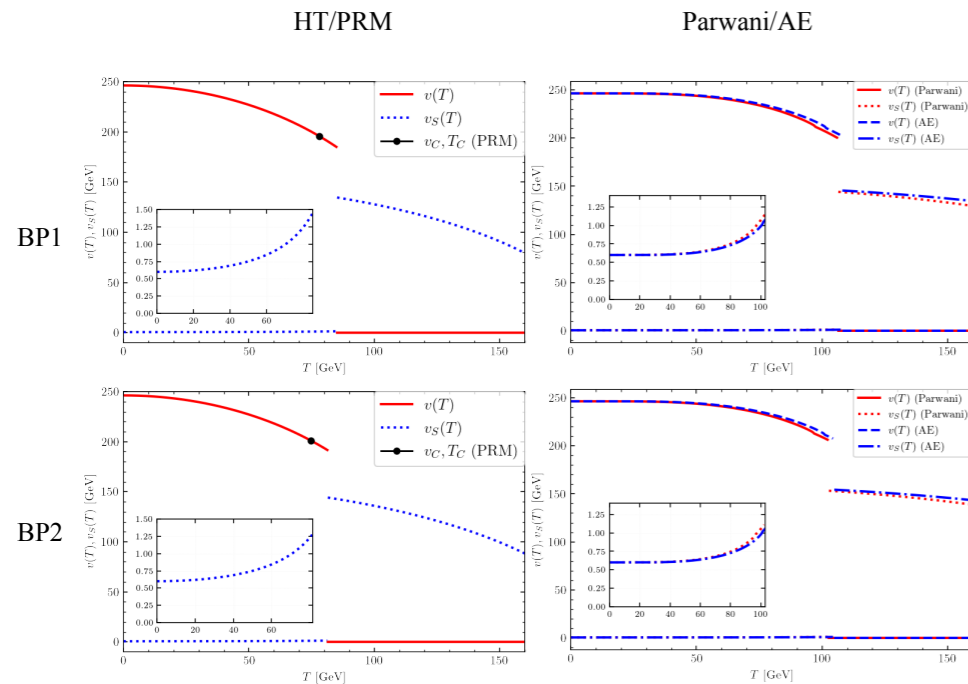
SFOEWPTの条件は抑制メカニズムと相反する

# 数值計算



# 数値計算

例) BP1



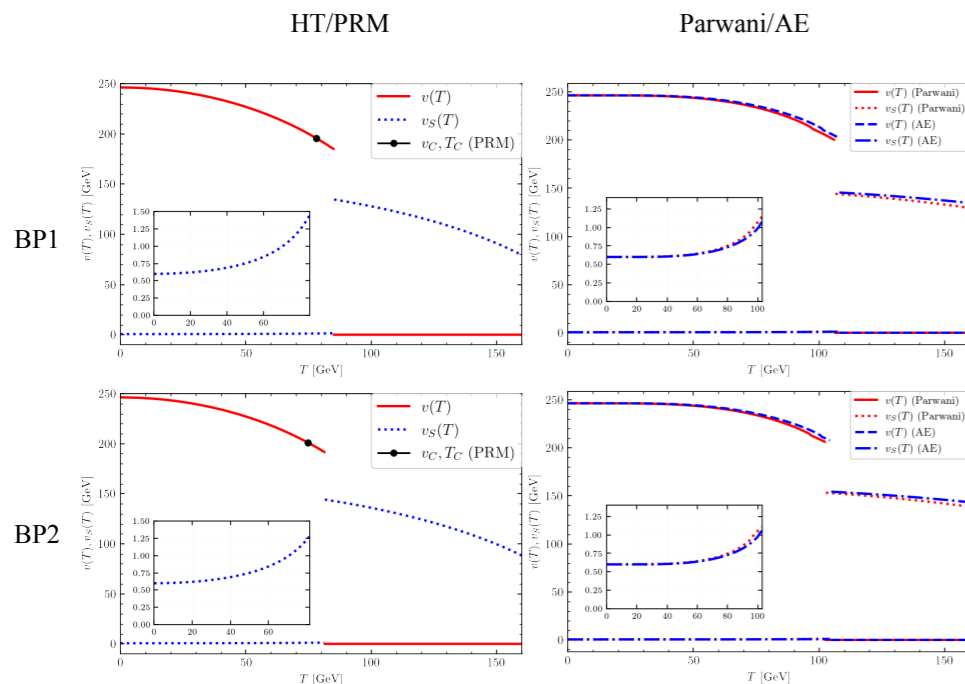
	BP1			
Scheme	HT	PRM	Parwani	AE
$v_C/T_C$	$\frac{184.4}{85.3} = 2.2$	$\frac{195.6}{78.2} = 2.5$	$\frac{201.5}{106.8} = 1.9$	$\frac{202.7}{107.8} = 1.9$
$v_{SC}$ [GeV]	1.5	1.2	1.2	1.2
$v_{SC}^{\text{sym}}$ [GeV]	134.6	137.3	144.8	145.3

BP2で得られる結果もBP1で得られるものと同じ

縮退スカラーシナリオにおける強い電弱一次相転移は  
 $m_{h_1} > m_{h_2}$  と  $m_{h_1} < m_{h_2}$  の場合も起こることが分かった

# 数値計算

例) BP1



	BP1			
Scheme	HT	PRM	Parwani	AE
$v_C/T_C$	$\frac{184.4}{85.3} = 2.2$	$\frac{195.6}{78.2} = 2.5$	$\frac{201.5}{106.8} = 1.9$	$\frac{202.7}{107.8} = 1.9$
$v_{SC}$ [GeV]	1.5	1.2	1.2	1.2
$v_{SC}^{\text{sym}}$ [GeV]	134.6	137.3	144.8	145.3

Strong 1st PT !

BP2で得られる結果もBP1で得られるものと同じ

縮退スカラーシナリオにおける強い電弱一次相転移は  
 $m_{h_1} > m_{h_2}$  と  $m_{h_1} < m_{h_2}$  の場合も起こることが分かった

# 数値計算

可能なDM質量領域:  $m_\chi = 62.5 \text{ GeV}$ , 2 TeV

$m_\chi = 2 \text{ TeV}$ のとき、HT, Parwani, AEスキームでは一次相転移となるが、PRMスキームのときはそうならない。

$$V_0 \left( 0, v_{S, \text{tree}}^{\text{sym}} \right) + V_1 \left( 0, v_{S, \text{tree}}^{\text{sym}} ; T \right) = V_0 \left( v_{\text{tree}}, v_{S, \text{tree}} \right) + V_1 \left( v_{\text{tree}}, v_{S, \text{tree}} ; T \right)$$

ゼロ温度で右辺が左辺より低くならないといけない

そうでないと、 $T_C$  が定義されるような縮退点が生まれない

Ex) BP1

$m_\chi \gtrsim 700 \text{ GeV}$ のとき、右辺が左辺を上回ってしまう

→ Higher orderの寄与を含めればDM質量へのバウンドは緩和されるかもしれない

# まとめ

DMを記述するモデルとしてCxSMを導入し、バリオン非対称性を説明する強い一次相転移の観点から議論した。

$\delta_2$  の小ささによって引き起こされる  $\sigma_{\text{SI}}$  の抑制を解析的に示した。

これには、2つのスカラーの質量差とsinglet vevの比が重要であり、強い電弱一次相転移の必要条件の1つに抵触する。

また、数値解析の結果、2つのスカラーの質量が縮退していても、 $\sigma_{\text{SI}}$  が抑制されないことを確認した。一方で、 $m_\chi = 62.5 \text{ GeV}$  と  $2 \text{ TeV}$  付近にはまだ許される領域が存在していた。

4つの異なる計算方式(HT, PRM, Parwani, AE)を用いて、 $m_\chi = 62.5 \text{ GeV}$  におけるEWPTを解析した。その結果、すべての計算で強い電弱一次相転移を得た。

# 今後の展望

## サハロフの3条件

1. バリオン数の破れ
2. C対称性、CP対称性の破れ
3. 熱平衡からの離脱

今のモデルではDMの安定性をCP対称性により保証している  
→ 破れた場合どうなるか

## CP対称性の破り方

### ① spontaneous CP violation

$$V_0 = \frac{m^2}{2}|H|^2 + \frac{\lambda}{4}|H|^4 + \frac{\delta_2}{2}|H|^2|S|^2 + \frac{b_2}{2}|S|^2 + \frac{d_2}{4}|S|^4 + \left( a_1 S + \frac{b_1}{4} S^2 + \text{c.c.} \right)$$

$a_1, b_1, v_S$  : complex

### ② explicit CP violation

$$+(\text{coeff.})\bar{t}_L \gamma_5 t_R H S + \text{h.c.}$$

調べたいこと

1. DMは十分長寿命か
2. EDMのboundはどうなるか
3. 強い電弱一次相転移が起こるか



Back up

# CxSM

The general scalar potential

$$V = \frac{m^2}{2}|H|^2 + \frac{\lambda}{4}|H|^4 + \frac{\delta_2}{2}|H|^2|S|^2 + \frac{b_2}{2}|S|^2 + \frac{d_2}{4}|S|^4 \\ + \left( a_1 S + \frac{\delta_1}{4}|H|^2 S + \frac{\delta_3}{4}|H|^2 S^2 + \frac{b_1}{4}S^2 + \frac{c_1}{6}S^3 + \frac{c_2}{6}S|S|^2 + \frac{d_1}{8}S^4 + \frac{d_3}{8}S^2|S|^2 + \text{c.c.} \right)$$

The minimalization condition

Mixing angle  $\alpha$

$$-m^2 = \frac{\lambda}{2}v^2 + \frac{\delta_2}{2}v_S^2,$$

$$\tan 2\alpha = 2 \frac{\frac{\delta_2}{2}vv_S}{\frac{\lambda}{2}v^2 - \Lambda^2}, \quad \cos 2\alpha = \frac{\frac{\lambda}{2}v^2 - \Lambda^2}{m_{h_1}^2 - m_{h_2}^2}$$

$$-b_2 = \frac{\delta_2}{2}v^2 + \frac{d_2}{2}v_S^2 + b_1 + 2\sqrt{2}\frac{a_1}{v_S}$$

Mass eigenvalues

$$m_{h_1, h_2}^2 = \frac{1}{2} \left( \frac{\lambda}{2}v^2 + \Lambda^2 \mp \frac{\frac{\lambda}{2}v^2 - \Lambda^2}{\cos 2\alpha} \right)$$

$$\Lambda^2 \equiv \frac{d_2}{2}v_S^2 - \sqrt{2}\frac{a_1}{2v_S}$$

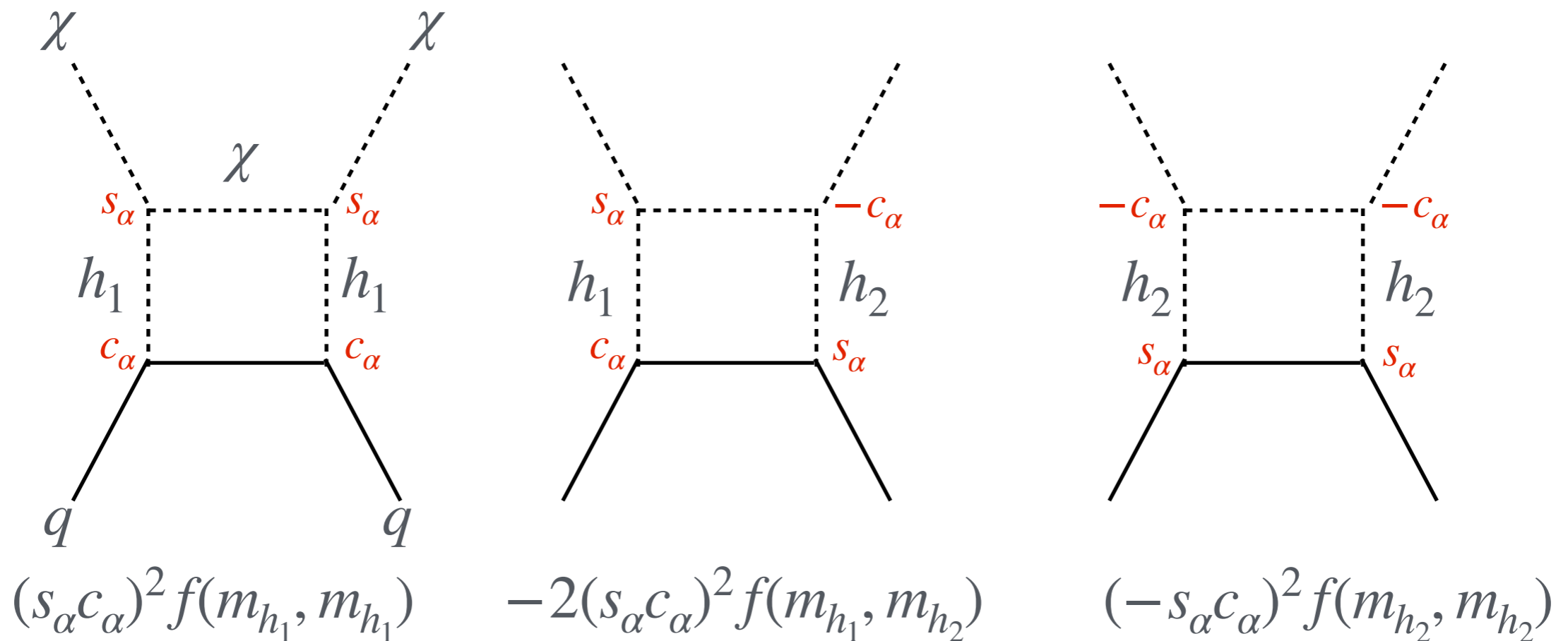
$$= \frac{1}{2} \left( \frac{\lambda}{2}v^2 + \Lambda^2 \mp \sqrt{\left( \frac{\lambda}{2}v^2 - \Lambda^2 \right)^2 + 4 \left( \frac{\delta_2}{2}vv_S \right)^2} \right)$$

# 縮退スカラーシナリオ

Degenerate scalar scenario @ one-loop

Azevedo et al., 1801.06105

$$\sigma_{\chi N}^{\text{NLO}} = \sin 2\alpha \left( \frac{\mu_{\chi N} f_N m_N}{m_{h_1} m_{h_2}} \right)^2 \frac{m_{h_1}^2 - m_{h_2}^2}{v^3 v_S^3} \times \text{loop func.} \propto m_{h_1}^2 - m_{h_2}^2$$

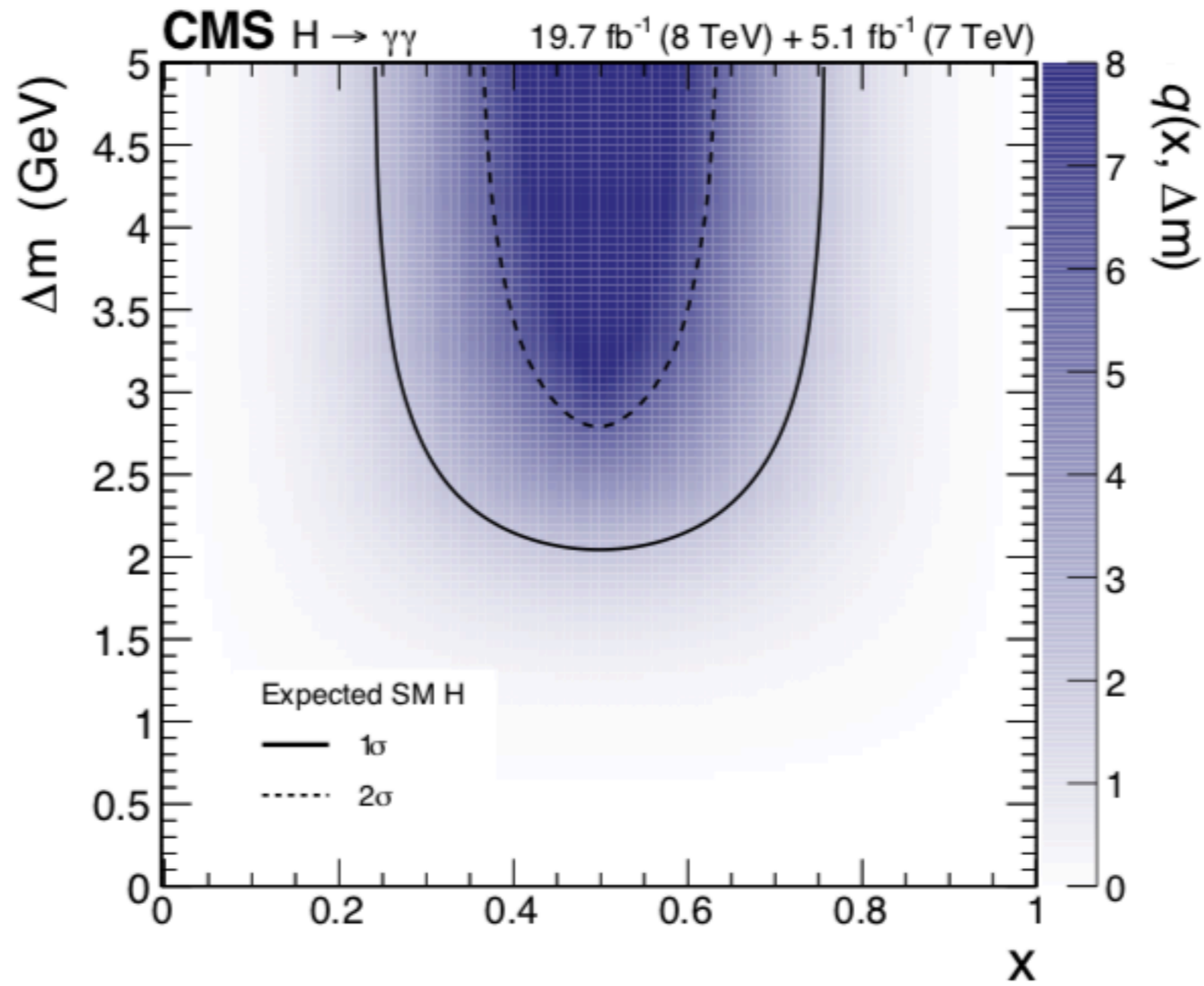


$$\text{Sum} = (s_\alpha c_\alpha)^2 (f(1,1) - f(1,2)) + (s_\alpha c_\alpha)^2 (f(2,2) - f(2,1)) \rightarrow 0 \text{ for } m_{h_1} \sim m_{h_2}$$

# 縮退スカラーシナリオ

@ LHC

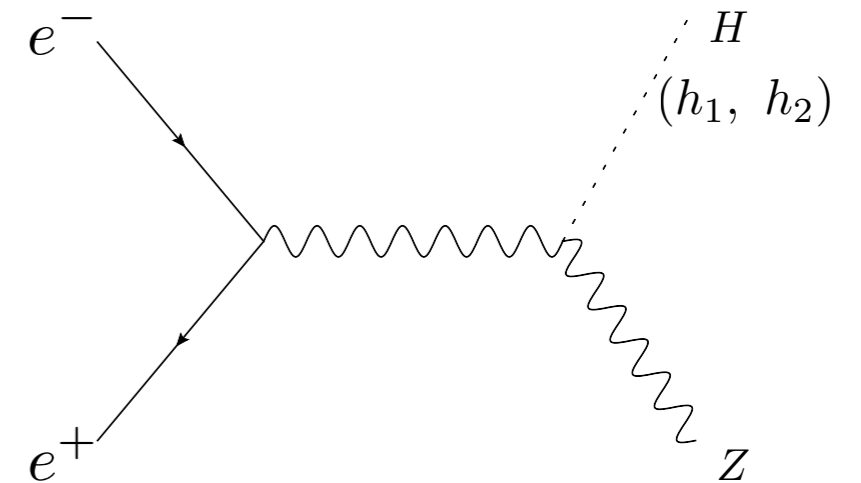
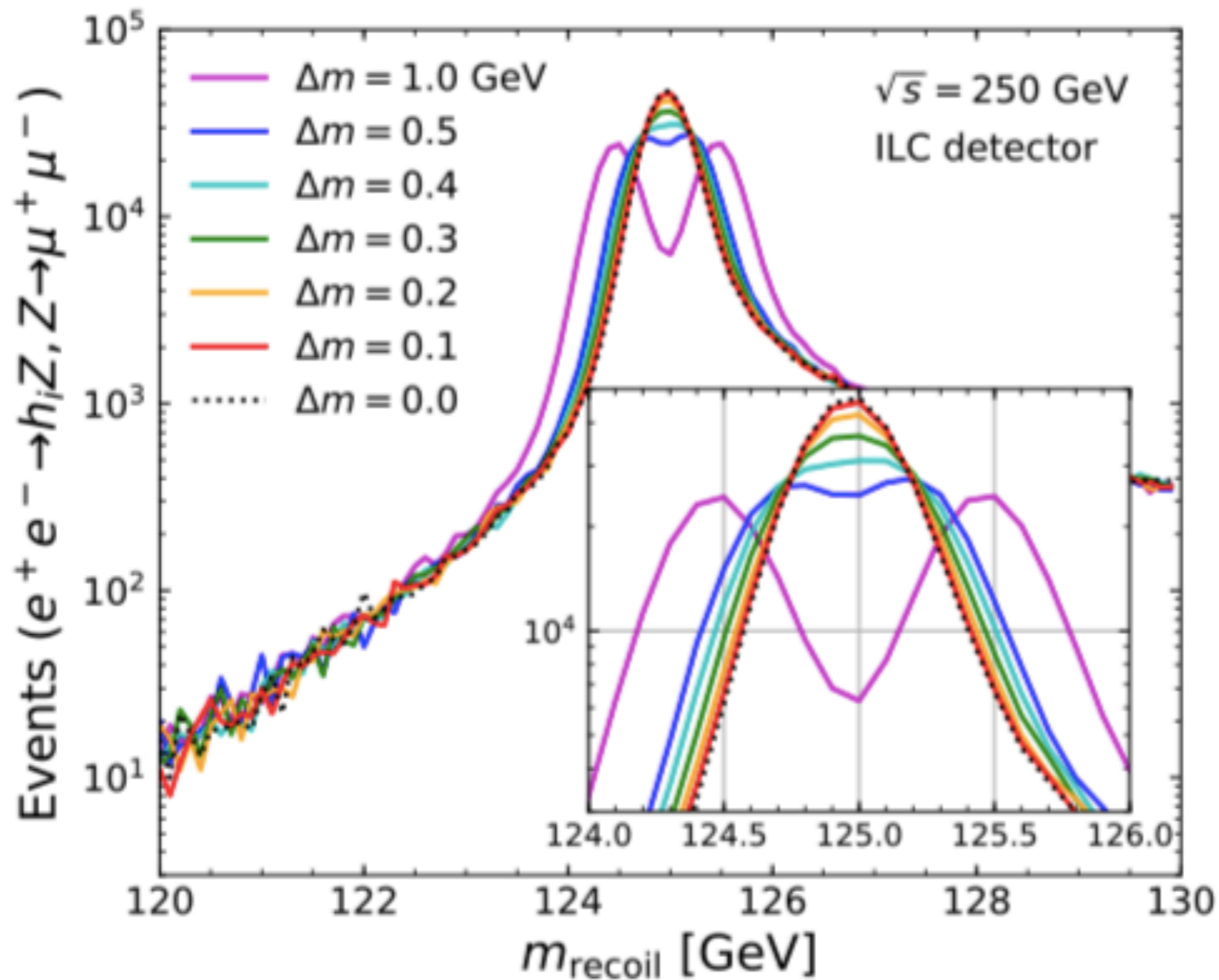
CMS collaboration, V. Khachatryan et al.,  
Eur. Phys. J. C 74 (2014) 3076, [1407.0558].



# 縮退スカラーシナリオ

Sachiho Abe, Gi-Chol Cho, Kentarou Mawatari,  
arXiv:2101.04887

@ ILC



# 縮退スカラーシナリオにおける相転移

**HT potential**  $V^{\text{HT}}(\varphi, \varphi_S; T) = V_0(\varphi, \varphi_S) + \frac{1}{2}(\Sigma_H \varphi^2 + \Sigma_S \varphi_S^2) T^2$  the gauge-invariant thermal masses

$$\Sigma_H = \frac{\lambda}{8} + \frac{\delta_2}{24} + \frac{3g_2^2 + g_1^2}{16} + \frac{y_t^2}{4}, \quad \Sigma_S = \frac{\delta_2 + d_2}{12}$$

**PRM scheme**  $\frac{\partial V_{\text{eff}}(\varphi, \xi)}{\partial \xi} = -C(\varphi, \xi) \frac{\partial V_{\text{eff}}(\varphi, \xi)}{\partial \varphi}$  the Nielsen-Fukuda-Kugo (NFK) identity

where  $C(\varphi, \xi)$  denotes some functional that is calculable order by order in perturbation theory.

One can obtain the NFK identity to given order by expanding each term in the both sides in powers of  $\hbar$ .

In our work,  $T_C$  is determined to  $\mathcal{O}(\hbar)$  using the following degeneracy condition

$$V_0\left(0, v_{S, \text{tree}}^{\text{sym}}\right) + V_1\left(0, v_{S, \text{tree}}^{\text{sym}}; T\right) = V_0\left(v_{\text{tree}}, v_{S, \text{tree}}\right) + V_1\left(v_{\text{tree}}, v_{S, \text{tree}}; T\right)$$

$v_C, v_{SC}$  and  $v_{SC}^{\text{sym}}$  are determined by the use of  $V^{\text{HT}}$

# 縮退スカラーシナリオにおける相転移

$$V_{\text{eff}}(\varphi, \varphi_S; T) = V_0(\varphi, \varphi_S; T) + \sum_i n_i \left[ V_{\text{CW}}(\bar{m}_i^2) + \frac{T^4}{2\pi^2} I_{B,F} \left( \frac{\bar{m}_i^2}{T^2} \right) \right]$$

$$V_{\text{CW}}(\bar{m}_i^2) = \frac{\bar{m}_i^4}{64\pi^2} \left( \ln \frac{\bar{m}_i^2}{\bar{\mu}^2} - c_i \right), \quad I_{B,F}(a^2) = \int_0^\infty dx x^2 \ln \left( 1 \mp e^{-\sqrt{x^2+a^2}} \right)$$

At high temperature,

$$\begin{aligned} I_B[m^2\beta^2] &= \int_0^\infty dx x^2 \log \left[ 1 - e^{-\sqrt{x^2+\beta^2 m^2}} \right] & I_F[m^2\beta^2] &= \int_0^\infty dx x^2 \log \left[ 1 + e^{-\sqrt{x^2+\beta^2 m^2}} \right] \\ &\simeq -\frac{\pi^4}{45} + \frac{\pi^2 m^2}{12 T^2} - \frac{\pi}{6} \left( \frac{m^2}{T^2} \right)^{3/2} - \frac{1}{32} \frac{m^4}{T^4} \log \frac{m^2}{a_b T^2} & &\simeq \frac{7\pi^4}{360} - \frac{\pi^2 m^2}{24 T^2} - \frac{1}{32} \frac{m^4}{T^4} \log \frac{m^2}{a_f T^2} \end{aligned}$$

$$a_b = 16\pi^2 \exp(3/2 - 2\gamma_E) \quad (\log a_b = 5.4076)$$

$$a_f = \pi^2 \exp(3/2 - 2\gamma_E) \quad (\log a_f = 2.6351)$$

**Parwani scheme** Replace  $\bar{m}^2$  with thermally corrected field depending masses  $\bar{M}^2$

**AE scheme**  $V_{\text{daisy}}(\varphi, \varphi_S; T) = \sum_{\substack{i=h_{1,2}, \chi \\ W_L, Z_L, \gamma_L}} -n_i \frac{T}{12\pi} \left[ (\bar{M}_i^2)^{3/2} - (\bar{m}_i^2)^{3/2} \right]$

# 縮退スカラーシナリオにおける相転移

$$V^{\text{HT}}(z, \gamma; T) = c_0 + c_1 z + (c_2 + c'_2 T^2) z^2 - c_3 z^3 + c_4 z^4$$

$$c_0 = \sqrt{2} a_1 v_s^A(T) + \frac{1}{4} (b_1 + b_2 + 2\Sigma_S T^2) (v_s^A(T))^2 + \frac{1}{16} (v_s^A(T))^4,$$

$$c_1 = \left( \sqrt{2} a_1 + \frac{1}{2} (b_1 + b_2 + 2\Sigma_S T^2) v_s^A(T) + \frac{1}{4} d_4 (v_s^A(T))^3 \right) \sin \gamma,$$

$$c_2 = \frac{1}{4} ((b_1 + b_2) \sin^2 \gamma + m^2 \cos^2 \gamma) + \frac{1}{8} (3d_2 \sin^2 \gamma + \delta_2 \cos^2 \gamma) (v_s^A(T))^2,$$

$$c'_2 = \frac{1}{2} (\Sigma_H \cos^2 \gamma + \Sigma_S \sin^2 \gamma),$$

$$c_3 = \frac{1}{4} \sin \gamma (d_2 \sin^2 \gamma + \delta_2 \cos^2 \gamma) v_s^A(T),$$

$$c_4 = \frac{1}{16} (d_2 \sin^4 \gamma + 2\delta_2 \sin^2 \gamma \cos^2 \gamma + \lambda \cos^4 \gamma),$$

$$T_C^2 = \frac{1}{2 (\Sigma_H + \Sigma_S t_{\gamma C}^2)} \left[ -m^2 - \frac{(v_{SC}^{\text{sym}})^2 \delta_2}{2} - \left\{ b_1 + b_2 + \left( \frac{3d_2}{2} - \frac{(\delta_2 + d_2 t_{\gamma C}^2)^2}{\lambda + 2\delta_2 t_{\gamma C}^2 + d_2 t_{\gamma C}^4} \right) (v_{SC}^{\text{sym}})^2 \right\} t_{\gamma C}^2 \right],$$

$$v_C = \frac{-2t_{\gamma C} (v_{SC}^{\text{sym}})^2 (\delta_2 + d_2 t_{\gamma C}^2)}{\lambda + 2\delta_2 t_{\gamma C}^2 + d_2 t_{\gamma C}^4}$$

$$\begin{aligned} t_{\gamma C} &= \frac{\sin \gamma (T_C)}{\cos \gamma (T_C)} \\ &= \frac{v_{SC} - v_{SC}^{\text{sym}}}{v_C}, \\ v_C &= \lim_{T \nearrow T_C} v(T), \\ v_{SC} &= \lim_{T \nearrow T_C} v_S(T), \\ v_{SC}^{\text{sym}} &= \lim_{T \searrow T_C} v_S(T) \end{aligned}$$



# 縮退スカラーシナリオにおける相転移

$$\delta_2 = \frac{2}{v v_S} (m_{h_1}^2 - m_{h_2}^2) \sin \alpha \cos \alpha$$

Invariant under the transformation  $m_{h_1}^2 - m_{h_2}^2 \rightarrow -(m_{h_1}^2 - m_{h_2}^2)$  and  $\alpha \rightarrow -\alpha$

$$d_2 = \frac{2}{v_S^2} \left[ m_{h_1}^2 + (m_{h_2}^2 - m_{h_1}^2) \cos^2 \alpha + \frac{\sqrt{2} a_1}{v_S} \right] \simeq \frac{2}{v_S^2} \left[ m_{h_1}^2 + \frac{\sqrt{2} a_1}{v_S} \right]$$

The sign of  $m_{h_1}^2 - m_{h_2}^2$  cannot be compensated by that of  $\alpha$

# 縮退スカラーシナリオにおける相転移

Phys. Rev. D 93, 065032 (2016)

Local minimum  $(v, v_S, v_\chi)$

→ It might be local min. also in  $S = v_S, h = v$  subspace

When the coeff. of  $\chi^2$  is negative,  $V_0(v, v_S, \chi)$  has min.

$$\frac{\delta_2}{8}v^2 + \frac{b_2}{4} + \frac{d_2}{8}v_S^2 - \frac{b_1}{4} < 0 \quad \begin{array}{l} \longleftarrow \\ \downarrow \end{array}$$
$$\frac{m_\chi^2}{2} < 0$$

This inequality does not hold.

In  $T \neq 0$ , it is stable at  $\chi = 0$  due to thermal contribution

# SMにおける相転移

M. Quiros, [arXiv:hep-ph/9901312 [hep-ph]]

Effective potential of the SM

$$\Gamma[\phi_c] = - \int d^4x V_{\text{eff}}(\phi_c)$$

- tree level potential
- zero-temperature one loop potential (the Coleman Weinberg Potential)
- finite-temperature one loop potential

$$V(\phi_c, T) = D(T^2 - T_o^2)\phi_c^2 - ET\phi_c^3 + \frac{\lambda(T)}{4}\phi_c^4$$

$$D = \frac{2m_W^2 + m_Z^2 + 2m_t^2}{8v^2}$$

$$E = \frac{2m_W^3 + m_Z^3}{4\pi v^3}$$

$$T_o^2 = \frac{m_h^2 - 8Bv^2}{4D}$$

$$B = \frac{3}{64\pi^2 v^4} (2m_W^4 + m_Z^4 - 4m_t^4)$$

$$\lambda(T) = \lambda - \frac{3}{16\pi^2 v^4} \left( 2m_W^4 \log \frac{m_W^2}{A_B T^2} + m_Z^4 \log \frac{m_Z^2}{A_B T^2} - 4m_t^4 \log \frac{m_t^2}{A_F T^2} \right)$$

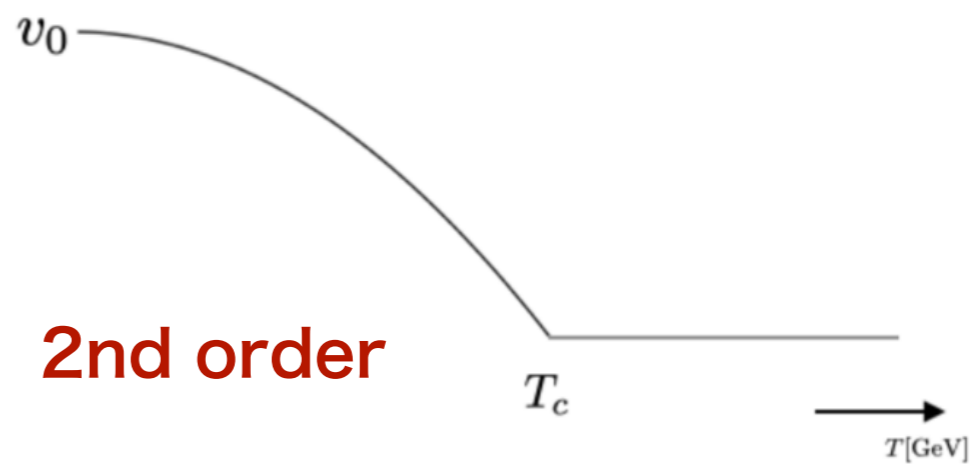
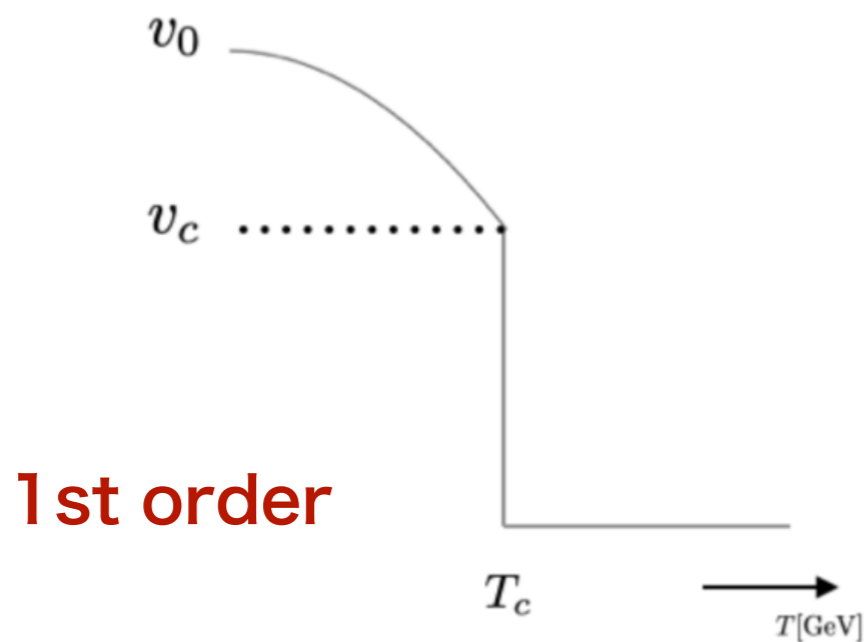
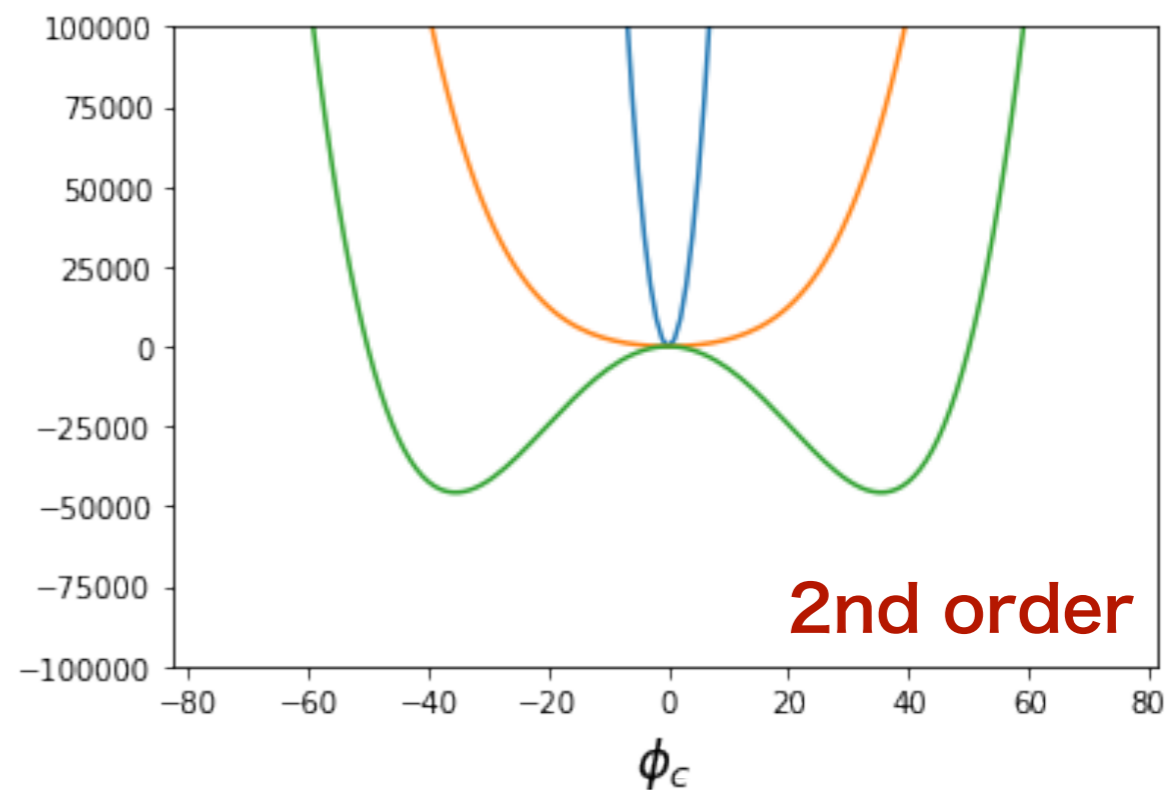
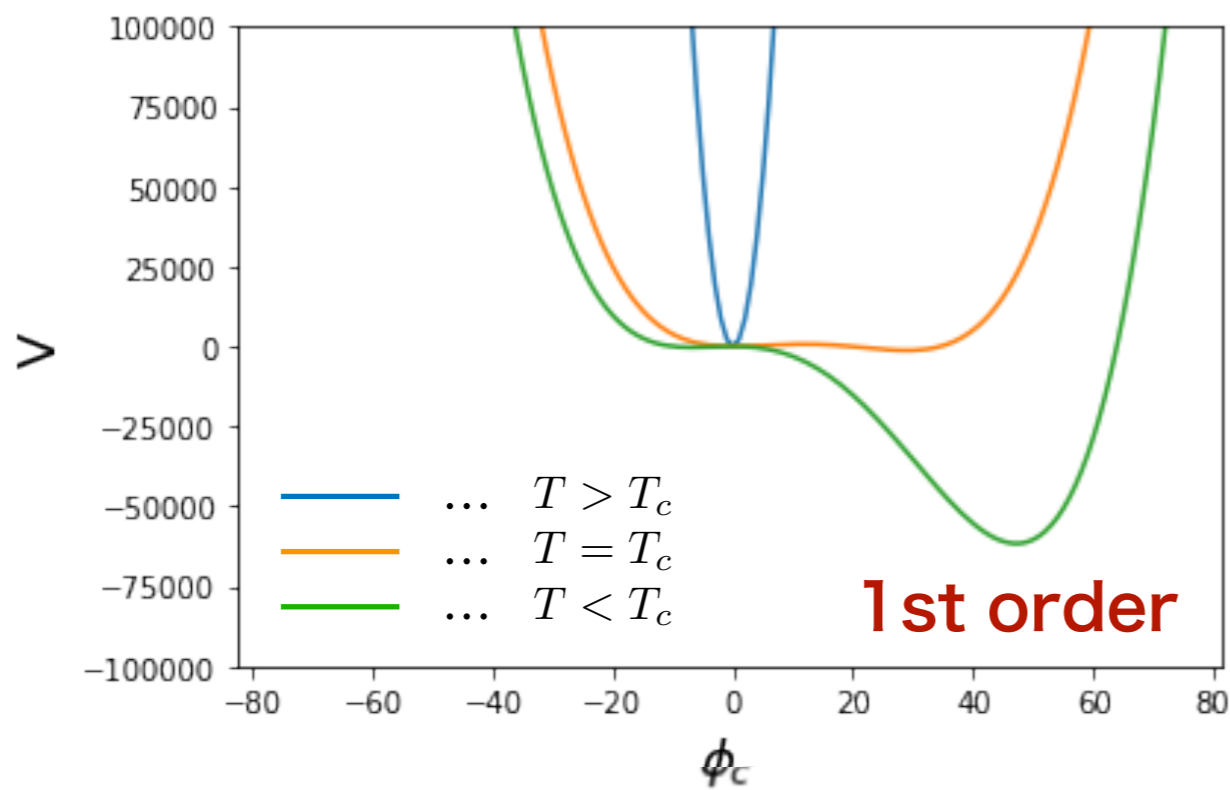
Higgs field

$$H = \begin{pmatrix} \chi_1 + i\chi_2 \\ \frac{\phi_c + h + i\chi_3}{\sqrt{2}} \end{pmatrix}$$

$\phi_c$  .....real background field

$\chi_a$  ( $a = 1, 2, 3$ ) .....goldstone bosons

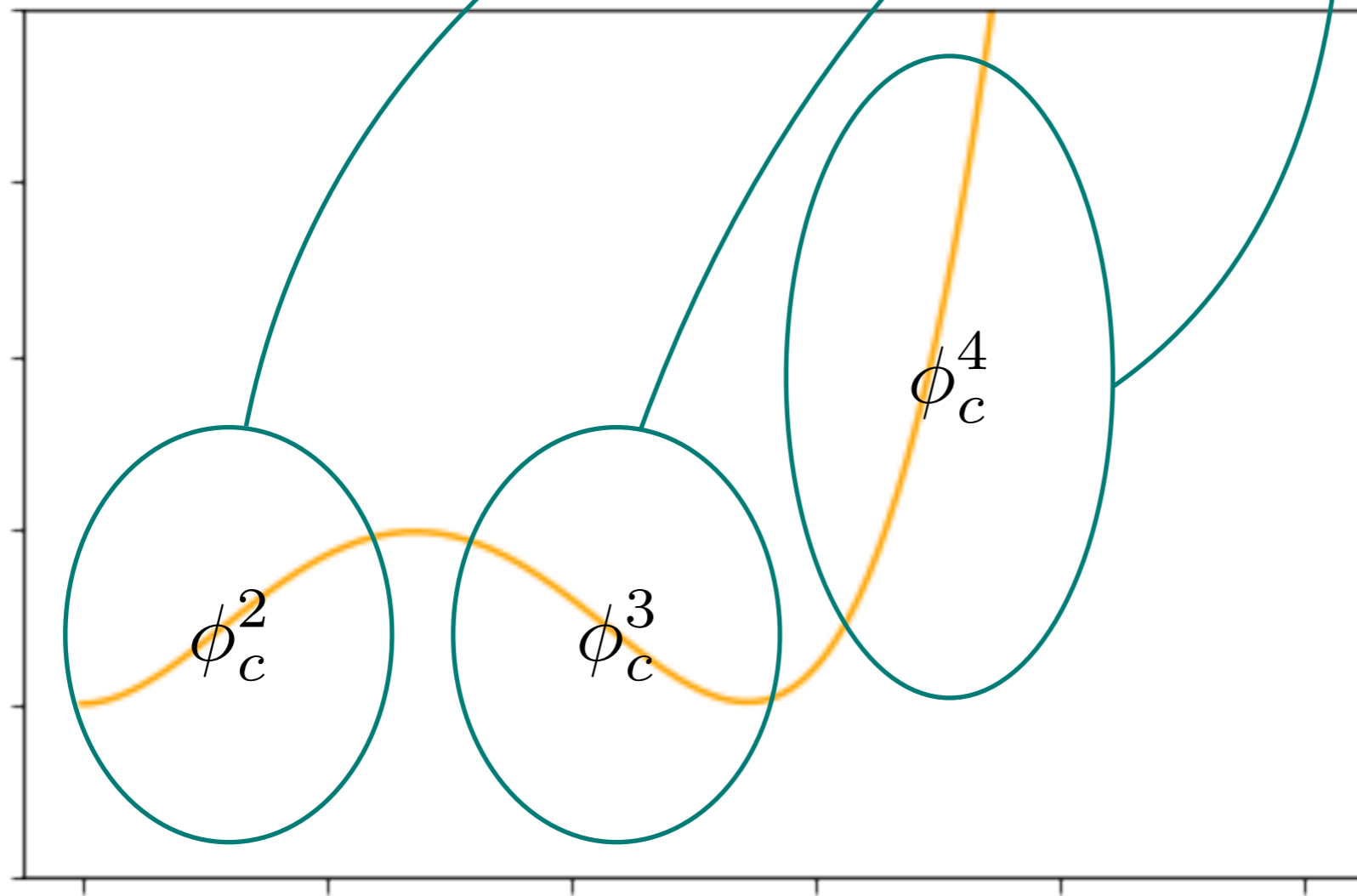
# SMにおける相転移



$-ET\phi_c^3$  from finite-temperature boson loop causes a 1st order PT.

# SMにおける相転移

$$V(\phi_c, T) = D(T^2 - T_o^2)\phi_c^2 - ET\phi_c^3 + \frac{\lambda(T)}{4}\phi_c^4$$



$v(T)$  makes  
discontinuous  
transition.  
(1st order PT)



A barrier is needed  
between the origin,  
and  $v(T)$



$\phi_c^3$  contributes.

# SMにおける相転移

In the SM, SFOEWPT condition

$$\frac{v_c}{T_c} = \frac{2E}{\lambda(T_c)} \gtrsim 1$$



$$m_h \lesssim 64 \text{ GeV}$$

**Conflict with observation at LHC → We need to extend the SM!**

# 電弱バリオジェネシス

(B-L)は保存

(B+L)は保存されない

💡 トンネリング確率

$$\Gamma_{\text{instanton}} \simeq e^{-16\pi^2/g_2^2} \simeq 10^{-162}$$

💡 スファレロン遷移確率

(per time per volume)

@broken phase

$$\Gamma_{\text{sph}}^{(b)} \simeq T^4 e^{-E_{\text{sph}}/T}$$

@symmetric phase

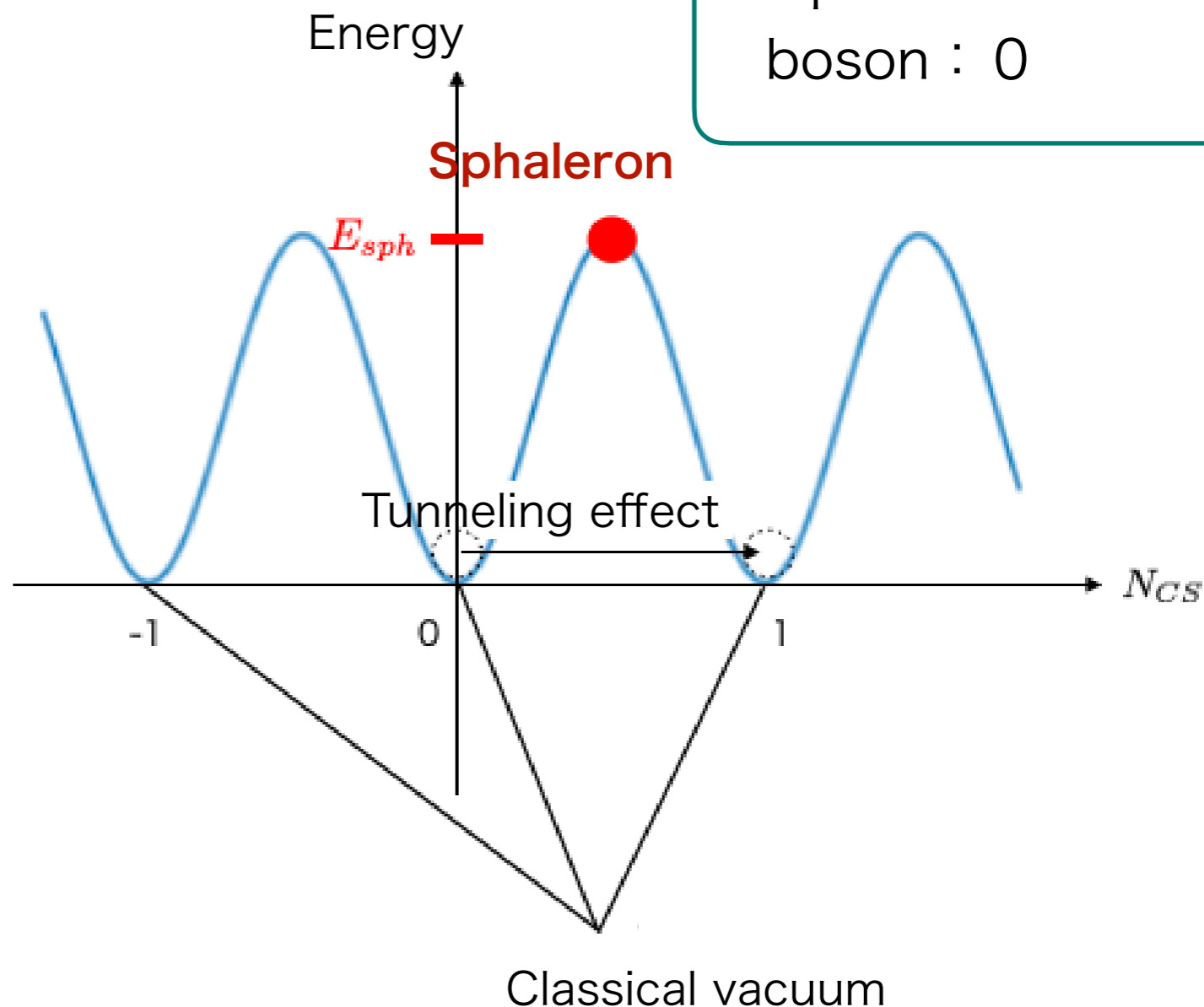
$$\Gamma_{\text{sph}}^{(s)} \simeq \kappa (\alpha_W T)^4$$

$$\alpha_W = g_2^2/(4\pi), \kappa = \mathcal{O}(1)$$

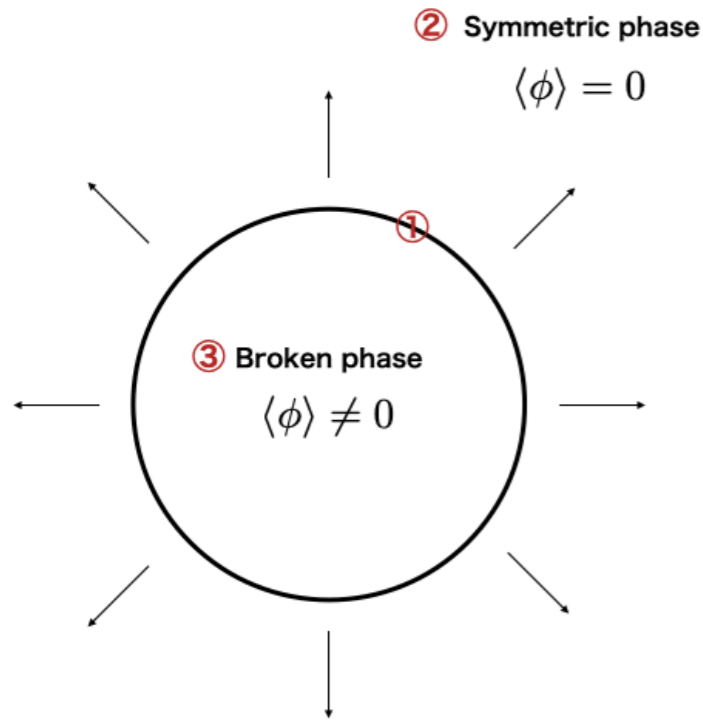
高温でバリオン数を破る  
課程が頻繁に起きる

Baryon number violation  
→ Sphaleron process

**Baryon number**  
quark : 1/3  
antiquark : -1/3  
lepton : 0  
boson : 0



# 電弱バリオジェネシス



Transmittance, Reflectance

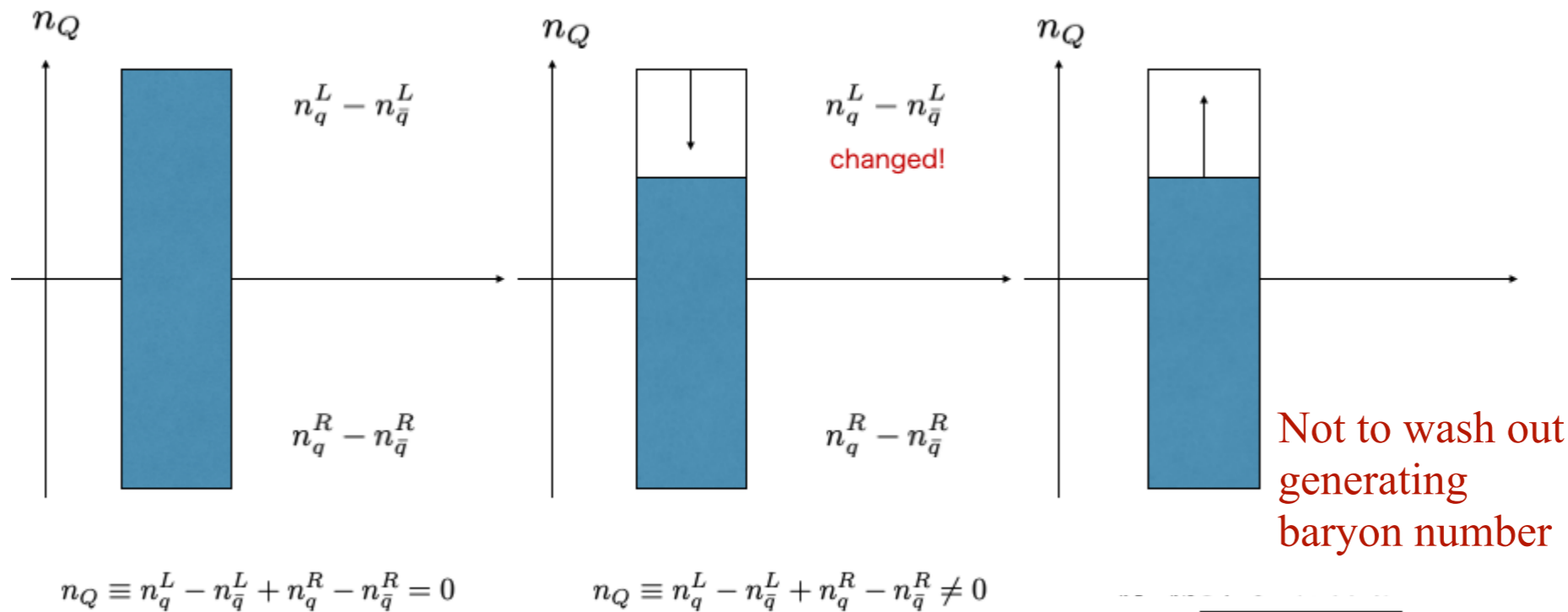
Left-handed quark  $q^L =$  Right-handed antiquark  $\bar{q}^R$

Left-handed antiquark  $\bar{q}^L =$  Right-handed quark  $q^R$

① On the wall

② Symmetric phase

③ Broken phase



Not to wash out  
generating  
baryon number

baryon number generation

$$\Gamma_{\text{sph}}^{(b)} < H$$

$H$ .....Hubble constant



# 電弱バリオジェネシス

The change rate in the baryon number in the broken phase  $\Gamma_B^{(b)}(T)$

To generate baryon number

$\Gamma_B^{(b)}(T)$  must be small

$$\Gamma_B^{(b)}(T) \simeq (\text{pre}) \frac{\Gamma_{\text{sph}}^{(b)}}{T^3} \simeq (\text{pre}) e^{-E_{\text{sph}}/T}$$

$E_{\text{sph}}$  ..... sphaleron energy

Sphaleron rate/time/volume

$$\Gamma_{\text{sph}}^{(b)} \simeq T^4 e^{-E_{\text{sph}}/T}$$

$$E_{\text{sph}} \propto v(T)$$

Higgs vev must be large



$$\frac{v_c}{T_c} \gtrsim 1$$

# 電弱バリオジェネシス

$$\Gamma_B^{(b)}(T) < H \rightarrow \Gamma_B^{(b)}(T) \simeq (\text{pre}) e^{-E_{\text{sph}}/T} < H(T) \simeq 1.66 \sqrt{g_*} T^2 / m_{\text{P}}$$

$g_*$  .....massless dof  
 $m_{\text{P}}$ .....Plank mass

$$E_{\text{sph}} = 4\pi v \mathcal{E} / g_2 \rightarrow g_2 \text{ .....SU(2) gauge coupling constant}$$

$$\frac{v}{T} \geq \frac{g_2}{4\pi \mathcal{E}} (42.97 + \text{log corrections})$$

In the case of the SM

$$m_h = 125 \text{ GeV}, \mathcal{E} = 1.92 (T = 0)$$



$$\frac{v}{T} \geq 1.16$$

# 数值計算

We use a public code micrOMEGAs to calculate  $\Omega_\chi h^2$  and  $\sigma_{\text{SI}}$ .

The value of  $\Omega_\chi h^2$  should not exceed the observed value

$$\Omega_{\text{DM}} h^2 = 0.1200 \pm 0.0012$$

In the case of  $m_\chi = 30$  GeV, for instance, the maximum value is  $\sigma_{\text{SI}} \simeq 4.1 \times 10^{-47}$  cm<sup>2</sup> under the assumption  $\Omega_\chi = \Omega_{\text{DM}}$ .

In cases that  $\Omega_\chi < \Omega_{\text{DM}}$ , we scale  $\sigma_{\text{SI}}$  as

$$\tilde{\sigma}_{\text{SI}} = \left( \frac{\Omega_\chi}{\Omega_{\text{DM}}} \right) \sigma_{\text{SI}}$$

# 将来研究

**Main topic: About the feasibility of CxSM when CP symmetry is broken.**

## 1. Spontaneous CP violation

$$V_0 = \frac{m^2}{2}|H|^2 + \frac{\lambda}{4}|H|^4 + \frac{\delta_2}{2}|H|^2|S|^2 + \frac{b_2}{2}|S|^2 + \frac{d_2}{4}|S|^4 + \left( a_1 S + \frac{b_1}{4} S^2 + \text{c.c.} \right)$$

Investigate the feasibility of SFOEWPT

Introduce complex phase

## 2. Explicit CP violation

Introduce such a dimension-five operator

$$(\text{coeff.}) \bar{t}_L \gamma_5 t_R S + h.c.$$

There is a phase in the (coeff.) that cannot be removed by the field redefinition, and it contributes to the baryon number generation.